



## بررسی عملکرد فیلم حاوی نشانگر رنگی ساقه ریحان بر پایه فیبر سبوس برنج به منظور پایش فساد

### ماهی شیر (*Siganus commersonii*)

صدیقه یزدان پناه<sup>۱\*</sup>، اکبر رستمی فرد<sup>۲</sup>

۱-دانشیار گروه علوم و صنایع غذایی، واحد کازرون، دانشگاه آزاد اسلامی، کازرون، ایران

۲-دانش آموخته کارشناسی ارشد گروه علوم و صنایع غذایی، واحد کازرون، دانشگاه آزاد اسلامی، کازرون، ایران

#### چکیده

#### اطلاعات مقاله

تولید فیلم‌های هوشمند شامل استفاده از شاخص‌های رنگ پاسخگو به pH است که از منابع طبیعی به دست می‌آیند. در راستای این روند، هدف در این پژوهش طراحی یک حسگر حاوی نشانگر رنگی ساقه ریحان بر پایه فیبر سبوس برنج به منظور تعیین کیفیت ماهی شیر (*Siganus commersonii*) نگهداری شده به مدت ۱ تا ۳۰ روز در دمای ۱۰°C است. در این مطالعه از یک طرح فاکتوریل برای ارزیابی اثرات تیمارهای کنترل، ۲۰۰ پی.پی.ام، ۴۰۰ پی.پی.ام و ۶۰۰ پی.پی.ام استفاده شد. نتایج میکروسکوپ الکترونی روبشی نشان داد که عصاره آنتوسیانین ساقه ریحان باعث تغییرات در زنجیره‌های پلیمری و کاهش تخلخل ماتریس فیلم می‌شود. آنتوسانین با بسیاری از گروههای هیدروکسی به عنوان پلاستی‌سایزر، حجم آزاد و تحرک ماکرومولکولی بین پلیمری به دلیل کاهش نیروهای بین مولکولی و چگالی کمتر افزایش داد و در نتیجه قابلیت کشش و انعطاف پذیری لایه‌ها را بهبود پخته است. علاوه بر این، خواص شیمیایی (H<sub>2</sub>O<sub>2</sub>)، تیوباریتیوریک اسید و ترکیبات نیتروژن برای همه نمونه‌ها با افزایش زمان نگهداری تا روز ۳۰ روند افزایشی داشت. در طیف سنجی FTIR مشاهده شد که در روز صفر حذف کربنیل در عصاره آنتو سیانین ساقه ریحان باعث بزرگ‌شدن باند هیدروکسیل و اسیدی‌شدن محیط شده است. خواص آنتی‌اکسیدانی عصاره آنتوسیانین ساقه ریحان در حضور ترکیبات فلزی از شروع واکنش‌های زنجیره‌ای رادیکال‌های آزاد جلوگیری کرده است و باعث کاهش آن شد. فیلم حاوی نشانگر رنگی عصاره آنتوسیانین ساقه ریحان بر پایه فیبر سبوس برنج، پتانسیل افزایش کیفیت و ماندگاری فیله‌های ماهی شیر را دارد. عصاره آنتوسیانین ساقه ریحان و فیبر سبوس برنج می‌تواند به عنوان یک شاخص مناسب برای بررسی تغییرات فساد در محصولات غذایی بسته‌بندی شده باشد.

تاریخ های مقاله :

تاریخ دریافت: ۱۴۰۳/۵/۱۳

تاریخ پذیرش: ۱۴۰۳/۱۰/۲

کلمات کلیدی:

پایش فاسدشدن،  
فیلم خوراکی،  
نشانگر رنگی

DOI:10.22034/FSCT.22.159.169.

\* مسئول مکاتبات:

yazdanpanah2004@gmail.com

## ۱- مقدمه

از مرگ سریعتر اتفاق می‌افتد و به فساد آن منجر می‌شود [۲]. لیپوکسیدازهای موجود در بعضی از میکرووارگانیسم‌ها واکنش بین اسیدهای چرب و اکسیژن را فعال می‌سازند و طعم تندی چربی‌ها به دلیل حضور آلدھیدها و کتون‌ها ناشی از این واکنش‌ها ایجاد می‌کند [۳]. جهت جلوگیری از فساد ماهی، می‌توان به کنترل درجه حرارت و کاهش آن، بسته‌بندی تحت خلاء و افزودن آنتیاکسیدان اشاره کرد. استفاده از بسته‌بندی مناسب و بهره‌گیری از شناساگرهای مناسب، که بتوانند در خصوصیات کیفیت محصول اطلاعات لازم را به مصرف‌کننده ارائه دهند، می‌تواند به توسعه صادرات این محصولات کمک کند [۴ و ۵]. آنتوسیانین‌ها، که به عنوان رنگدانه‌های فلاونوئیدی در آب حل شده‌اند، در طبیعت پراکنده و با سیستم‌های بیولوژیکی سازگار هستند، ویژگی تغییر رنگ حساس به pH آنتوسیانین‌ها، و عملکردی مانند فعالیت آنتیاکسیدانی و اثر ضدمیکروبی، قابلیت بالای برای طراحی فیلم‌های بسته‌بندی هوشمند با نشانگر رنگ طبیعی بسیار مفید است و می‌توانند در نگهداری ماهی به عنوان مواد طبیعی و نگهدارنده مورد استفاده قرار بگیرند و به دلیل، قدرت ضد اکسیداسیون بالا، از فرایند اکسیداسیون چربی‌ها و پروتئین‌ها در ماهی جلوگیری کنند [۶ و ۷]. همچنین، آنتوسیانین‌ها می‌توانند در بهبود ویژگی‌های غذایی ماهی نیز نقش داشته باشند. و به عنوان عوامل مفیدی در افزایش میزان ویتامین C و اسید چرب امگا-۳ در ماهی عمل کنند. این ویژگی‌ها باعث می‌شود تا ماهی تا زمان مصرف، کیفیت و ارزش غذایی خود را حفظ کند [۸].

امروزه بازیافت و استفاده از ضایعات مواد غذایی و صنایع کشاورزی به عنوان یک استراتژی جدید برای بهره‌برداری شناخته شده است. این استراتژی، به علاوه از سودآوری، با مقررات و کمترین هزینه، به رابطه مفید و سازگاری با محیط زیست نیز دست یافته است. حفاظت از محصولات غذایی در برابر تأثیرات محیطی مانند اکسیژن، آب، نور و آفات شیمیایی از ابتدای تولید تا رسیدن به دست مصرف‌کننده، یکی از نگرانی‌های اصلی صنعت بسته‌بندی صنایع غذایی

استفاده از پوشش غذایی باعث حفاظت محصول غذایی در برابر خدمات فیزیکی، شیمیایی یا بیولوژیکی می‌شود. همچنین مطالعات و بررسی‌ها نشان می‌دهد که افزودن ترکیبات آنتوسیانین به عنوان یک ابزار قدرتمند، آسان و دارای مزایای بالقوه بی‌شماری از جمله طبیعی بودن، سهولت دسترسی، توزیع گسترده در طبیعت، حساسیت بالا، ارزان-بودن، عدم سمیت و قابلیت رنگدهی بالا بر روی pH می-باشد. تغییر، آنها جایگزین خوبی برای رنگ‌های مصنوعی در توسعه بسته‌بندی‌های هوشمند برای نظارت بر تازگی محصولات غذایی هستند. اما علیرغم مزایای بی‌شماری که دارند، استفاده از آن‌ها در صنعت به دلیل پایداری کم در شرایط سخت مانند نور، دما، اکسیژن و آنزیم‌ها با مشکل مواجه می‌شود. ماهی شیر (*Siganus commersonii*) نوعی ماهی آب شور است و در آب‌های جنوب شرقی آسیا، به سمت غرب در امتداد نواحی ساحلی شمالی تا سواحل شرقی آفریقا، خاورمیانه، خلیج فارس، یافت می‌شود. و از نظر اقتصادی بسیار ارزشمند است و تغذیه آن، از ماهی‌های کوچک و به میزان کمتر، از میگو و ماهی مرکب تشکیل می‌شود [۱]. ماهی شیر به عنوان یک منبع غنی از پروتئین و اسیدهای چرب امگا-۳ شناخته می‌شود و به همین دلیل در اسیدهای چرب امگا-۳ تأثیر زیادی بر فروش و رضایت مصرف‌کنندگان داشته باشد. ماهی شیر به سرعت در برابر عوامل فساد زیستی و شیمیایی آسیب‌پذیر است. این ویژگی باعث می‌شود که پایش کیفیت و فساد آن اهمیت ویژه‌ای داشته باشد. ماهی یکی از منابع ارزشمند پروتئین، چربی و انرژی، است، و به عنوان یک فرآورده غذایی، محیط ایده‌آل برای رشد گروه‌های مختلف باکتری‌های پاتوژن است و امکان آلودگی و فساد توسط آن‌ها وجود دارد. بدلیل حضور مقادیر قابل توجهی اسیدهای چرب غیراشباع با پیوندهای دوگانه و ترکیبات امگا-۳، به ویژه دوکوزاهگزانوئیک اسید و ایکوزاپتانوئیک اسید در بافت ماهی، اکسیداسیون آن‌ها بعد

طعمی و بدرنگی در مواد غذایی و مقاومت بیشتر در برابر پدیده تفکیک گرانشی و تجمع قطرات برخوردارند [۱۵ و ۱۶].

محققان با مطالعه فیلم شناساگر pH از نشاسته ذرت و گلیسروول، با افزودن یک رنگ طبیعی (آنتوسیانین) استخراج-شده از گیاه *Hibiscus sabdariffa* گزارش کردند فیلم نشانگر در تماس با گوشت فاسد به ترتیب صورتی و سبز شد که ویژگی‌های اسیدی و اساسی مواد غذایی فاسد را ثابت کرد. در مطالعه دیگر یک شاخص هوشمند حساس به pH بر اساس رنگ طبیعی استخراج شده از گل *Echium amoenum* به صورت بصری فساد می‌گو را با تغییر رنگ شناسایی، و مناسب بودن آنتوسیانین *E. amoenum* را به عنوان یک رنگ حساس به pH برای بسته‌بندی هوشمند مواد غذایی غنی از پروتئین نشان داد. نتایج، فیلم‌های بسته‌بندی ساخته شده از ضایعات چای CMC (کربوکسیل متیل سلولز) و فورسالران نشان داد، فیلم‌های بسته‌بندی از رشد میکروارگانیسم‌ها و تجمع آمین‌های بیوژنیک جلوگیری می‌کنند و در نتیجه ماندگاری فیله‌های ماهی سالمون را افزایش می‌دهند [۱۷، ۱۸، ۱۹ و ۲۰].

بنابراین فیلم نشانگر pH می‌تواند به عنوان یک سنسور برای اطلاع از کیفیت غذا استفاده شود. با توجه به مطالعات صورت گرفته، ارزش تغذیه‌ای بالای سبوس برنج و گیاه ریحان و اثرات مثبت آن در سلامت انسان و علاقه به بسته بندی‌های هوشمند زیست تخریب‌پذیر در پژوهش حاضر بر اساس تغییر رنگ عصاره استخراجی از ساقه ریحان با تغییر pH و همچنین در حضور آمین‌های بیوژنیک نانو حسگر زیست تخریب‌پذیر بر پایه فیبر سبوس برنج استخراجی به روش آنزیمی طراحی و ساخته شد و برای پایش تازگی گوشت ماهی شیر مورد مطالعه قرار گرفت.

بررسی و توسعه فیلم‌های خوراکی حاوی نشانگر رنگی از ساقه ریحان به عنوان یک ابزار طبیعی برای پایش کیفیت و فساد ماهی، همچنین ارزیابی عملکرد این فیلم‌ها در تشخیص و پایش فساد ماهی شیر با استفاده از خاصیت تغییر رنگ نشانگر، به‌طوری که با تغییر کیفیت ماهی، رنگ فیلم نیز تغییر

است. نوع بسته‌بندی که منجر به کاهش تخریب کیفیت محصولات غذایی می‌شود، از لحاظ کارایی در توزیع و بازاریابی اهمیت بالایی دارد. استفاده از بسترهای زیستی که با رنگدانه‌های طبیعی و حساس به فساد اصلاح شده‌اند، به طور موثری به کاهش فساد محصولات غذایی کمک می‌کند [۹ و ۱۰].

ریحان (*Ocimum basilicum*) گیاهی علفی است که در خانواده نعنای قرار دارد و به عنوان یکی از مهمترین سبزی‌های برگی شناخته می‌شود، دارای خواص بیولوژیکی مانند فعالیت آنتی‌اکسیدانی مانند فلاونوئیدها و فنول‌ها و اثر ضدمیکروبی است و به عنوان یک گیاه دارویی نیز مورد استفاده قرار می‌گیرد. همچنین دارای نسبت مناسبی از امگا ۳ به امگا ۶ است. علاوه بر این، ساقه ریحان حاوی مقادیر قابل توجهی ویتامین‌های C، K، مواد معدنی کلسیم، آهن و فیبر است و می‌تواند برای درمان برخی بیماری‌های سیستم عصبی مرکزی و همچنین در کنترل برخی عفونت‌های معده مانند زخم معده و عفونت هلیکوباکتر پیلوری موثر است [۱۱ و ۱۲].

سبوس برنج که محصول جانبی از آسیاب برنج است، و درصد قابل توجهی پروتئین را نیز دارد. به عنوان یک منبع مهم فیبر، غنی از ویتامین‌های گروه B و منبع مناسبی از مواد معدنی مانند کلسیم، منیزیم، روی، فسفر و منگنز است [۱۳]. فیبرها ترکیبی از کربوهیدرات‌های غیرقابل هضم هستند، و حجم غذا را افزایش می‌دهند و احساس سیری را تقویت می‌کنند، در حالی که کالری مصرفی را کاهش می‌دهند. این امر می‌تواند در کنترل وزن مؤثر باشد. مصرف فیبرها می‌تواند رسیک ابتلا به برخی از سرطان‌ها، به ویژه سرطان روده بزرگ، و دیابت نوع ۲ را کاهش دهد [۱۴].

نانو امولسیون‌ها به علت پایداری سیستیکی، حلالیت بالا در محیط آبی، شفافیت، حفاظت در برابر اکسیداسیون، نور و حرارت، و کنترل رهایش و حفاظت از ویتامین‌ها در مواد غذایی و بدن، به عنوان یک روش نگهداری موردن توجه در صنایع مختلف محسوب می‌شوند. همچنین، با داشتن قطرات نانومتری در محلوده‌ی (بین ۲۰ تا ۱۰۰ نانومتر) قرار می‌گیرند، این سیستم‌ها از مزایایی مانند جلوگیری از بد-

به مدت ۶۰ دقیقه، اجازه داده شد تا رسوب تشکیل شود. سپس با انجام فیلتراسیون، مابقی مواد را با استفاده از محلول‌های ۷۸ درصد، ۹۵ درصد آتانول و استون شستشو داده شد. در نهایت، فیبر استخراج شده پس از بسته‌بندی در جای خشک و خنک جهت آزمایشات بعدی نگهداری شد [۲۲].

### ۲-۳-استخراج عصاره آنتو سیانین ساقه ریحان (*Ocimum basilicum*)

جهت استخراج آنتوسیانین از ساقه ریحان، ابتدا لایه‌های موردنظر از ساقه جدا شد. سپس ۵۰ گرم از این لایه‌ها خشک شده را به همراه ۲۵۰ میلی‌لیتر محلول ۸۰ درصد آتانول و ۱ درصد کلریدریک اسید در دمای ۴ درجه سانتی-آزانول و ۲۴ ساعت نگهداری شد. سپس محلول گراد به مدت ۱۵ دقیقه سانتریفیوژ (Germany, RPM/mi 500) به مدت ۱۵ دقیقه سانتریفیوژ (Germany, RPM/mi 500) در دست آمد را با سرعت ۸۰۰۰ دور در دقیقه عصاره‌ای که به دست آمد را با سرعت ۸۰۰۰ دور در دقیقه عصاره‌ای که به دست آمد را با سرعت ۸۰۰۰ دور در دقیقه به مدت ۱۵ دقیقه سانتریفیوژ (Germany, RPM/mi 500) در دست آمد را با سرعت ۸۰۰۰ دور در دقیقه عصاره با استفاده از روش اختلاف جذب در pH‌های (۲ تا ۱۲) مختلف اندازه‌گیری شد [۲۳].

### ۴-اندازه‌گیری محتوای تام فنلی ساقه ریحان (*Ocimum basilicum*)

مقدار کل ترکیبات فنلی آنتوسیانین تولیدی به روش فولین سیوکالتو انجام شد. مقدار ۰/۵ میلی‌لیتر عصاره با ۵/۲ میلی‌لیتر محلول ۱۰ درصد فولین سیوکالتو مخلوط شد و بعد از ۳ دقیقه، ۲ میلی‌لیتر محلول ۷/۵ درصد کربنات سدیم به آن اضافه، سپس جذب نمونه در ۷۶۵ نانومتر توسط دستگاه اسپکتومتر (Schimadzu UV/Vis-240 IPC، ژاپن) قرائت شد. نتایج بر حسب اسید‌گالیک موجود در ۱۰۰ میلی‌لیتر آنتوسیانین استخراجی گزارش شد. جهت رسم منحنی استاندارد از رقت‌های ۱۰۰ تا ۷۰۰ اسید‌گالیک استاندارد استفاده شد [۲۴].

### ۵-بررسی ویژگی آنتی‌اکسیدانی عصاره ساقه ریحان (*Ocimum basilicum*)

کند اهمیت دارد. ترویج استفاده از فیبر سبوس برنج و ساقه ریحان به عنوان منابع طبیعی و پایدار در تولید مواد بسته‌بندی و فیلم‌های خوراکی و بررسی تأثیر این فیلم‌ها در کاهش ضایعات غذایی و افزایش ماندگاری ماهی از طریق پایش دقیق و به موقع فساد، تحلیل خواص فیزیکی و شیمیایی فیلم‌های تولید شده و تأثیر آن‌ها بر کیفیت و ایمنی ماهی از اهداف مهم پژوهش حاضر می‌باشد.

## ۲-مواد و روش‌ها

### ۲-۱-مواد اولیه

گیاه ریحان (*Ocimum basilicum*، ماهی شیر) (*Siganus commersonnii*، سبوس برنج از شهرستان بوشهر (بوشهر، جنوب ایران) خریداری شد. روغن آفتابگردان غنی از ویتامین E سالماتور غیر اشباع با چربی کل ۱۵ گرم (شیراز، ایران)، خریداری شد. پترولیوم اتر (۱۰۱۷۶۹)، اسید کلریدریک (Merc) (HCL37%) (Germany), استون گرید Extra Pure، آتانول (۹۶ درصد حجمی/حجمی)، آمونیاک از آزمایشگاه شیمیایی (دکتر مجتبی تهران، ایران)، آنزیم‌های آلفا آمیلاز،  $\alpha$ -گلوکوزیداز (G5003-100UN)، Merc پروتئاز (Sigma Chemical, USA)، توئین-۸۰ (Germany), محیط کشت (کانت آگار) (Germany)، آب مقطر (DDW) دو بار تصفیه شده با خلوص (۱۸ مگااهرتز/سانتی‌متر) از سیستم تصفیه آب Infinity, Barnstaeas International, Dubuque, IA, USA، تهیه و خریداری شدند.

### ۲-۲-استخراج آنزیمی فیبر سبوس برنج

ابتدا از سیستم سوکسله برای استخراج چربی از سبوس برنج استفاده شد [۲۱]. سپس سبوس بدون چربی در حضور آمیلاز پایدار و در دمای ۱۰۰ درجه سانتی‌گراد به مدت یک ساعت، ژلاتینه شد. در مرحله بعد، با استفاده از پروتئاز، در دمای ۶۰ درجه سانتی‌گراد به مدت ۱ ساعت، سبوس برنج هضم شده، و جهت جداسازی پروتئین و نشاسته، با استفاده از آنزیم آمیلوگلوکوزیداز انکوباسیون در دمای ۶۰ درجه سانتی‌گراد بعد از گذشت ۱ ساعت، ۴ حجم آتانول ۹۵ درصد به محلول اضافه شد و در دمای ۶۰ درجه سانتی‌گراد

به مدت ۱۰ دقیقه با دور ۳۰۰ دور در دقیقه همزده و جهت هیدراته شدن به مدت ۲۴ ساعت در دمای ۴ درجه سانتی-گراد قرار گرفت. تهیه فیلم خوراکی با استفاده از محلول استوک فیبر ۱۰ درصد و نانوکپسوله عصاره آنتوسیانین ساقه ریحان (*Ocimum basilicum*) و محلول استوک کربوکسیل متیل سلولز (۰/۰ درصد حجمی/وزنی) با افزودن ۰/۲ گرم پودر کربوکسیل متیل سلولز در ۱۰۰ میلی لتر آب مقطر دوبار تقطیر مخلوط شد و سپس گلیسرول به مقدار ۰/۷۵ درصد وزنی/وزنی به عنوان پلاستی سایزر اضافه شد و عمل هم زدن با سرعت ۱۲۰۰۰ دور در دقیقه به مدت ۱۰ دقیقه در دمای ۸۰ درجه سانتی گراد انجام شد [۲۷]. سپس بعد از سرد شدن دمای محلول به ۳۷ درجه سانتی گراد مطابق (جدول ۱). از نانوکپسوله عصاره آنتوسیانین ساقه ریحان مخلوط با محلول استوک فیبر سبوس برنج به محلول کربوکسیل متیل سلولز هیدراته شده اضافه شد و جهت همگن سازی محلول در دمای ۴۰ درجه سانتی گراد به مدت ۳۰ درجه سانتی گراد در شرایط ۵۰۰ دور در دقیقه توسط یک غلطک میکسر (Movil-Rod - JP SELECTA Spain) همزده شد. محلول تشکیل دهنده فیلم با استفاده از پمپ خلا در شرایط محیطی به مدت ۵ دقیقه هواگیری شد. سپس ۱۰۰ میلی لیتر از هر محلول تشکیل دهنده فیلم در سطح صاف پلیت های آزمایشگاهی قالب ریزی و تا زمان خشک شدن در دمای ۲۵ درجه سانتی گراد نگهداری شد نمونه فاقد نانوکپسوله آنتوسیانین به عنوان شاهد تهیه شد [۲۸].

اثر مهار رادیکال آزاد به کمک DPPH(diphenyl-1-picrylhydrazyl free radical) ارزیابی شد. ۴ میلی لیتر از عصاره آنتوسیانین استخراجی از ساقه ریحان میلی لیتر ۱۰۰ محلول متانول در دمای ۲۰ درجه سانتی گراد به مدت ۱ ساعت قرار داده تا واکنش دهد. میزان جذب محلول واکنش داده شده در ۵۱۷ نانومتر توسط دستگاه (Schimadzu UV/Vis-240 IPC، ژاپن) اندازه گیری شد، و توان آنتی-اکسیدانی از رابطه زیر محاسبه (۱) شد [۲۵].

$$A_0 = \text{DPPH radical scavenging activity (\%)} \\ A_0 = A_0 - A_1 / A_0 \\ \text{ Shahed}$$

## ۲-۶-آماده سازی نانو کپسوله کردن عصاره آنتو سیانین (*Ocimum basilicum*)

در این پژوهش، نانومولسیون های روغن در آب با استفاده از بهینه سازی شرایط اولتراسونیک تهیه شدند. فاز آبی حاوی عصاره آنتوسیانین در غلظت ۵ درصد وزنی/وزنی و سورفاکانت هیدروفیلیک تویین-۸۰ در غلظت ۲ درصد وزنی/وزنی و فاز روغنی حاوی امولسیفایر در غلظت ۳ درصد وزنی/وزنی استفاده شد. تهیه نانومولسیون با استفاده از دستگاه اولتراسونیک فراصوت پر پوپ دار از جنس تیتانیوم (HD3200, Berlin, Germany) با توان ۳۰۰ وات، فرکانس ۲۴ کیلوهرتز به مدت ۵ دقیقه، در دمای ۲۵ درجه سانتی گراد انجام شد [۲۶].

## ۲-۷-تولید فیلم خوراکی

تهیه محلول استوک ۱۰ درصد حجمی/وزنی فیبر سبوس برنج، ۱۰ گرم فیبر سبوس و ۹۰ گرم آب وزن شد. و سپس

Table 1. Treatments produced from basil stem color marker and cmc based on rice bran fiber.

Name	Sample(film)	CMC(g)	Glycerol %	10Stock cmc (g)%souton	(g) DDW
Film C	-	0.2	0.75	-	75
Film 1	Fiber 100ppm+200ppm En anto	0.2	0.75	5	75
Film 2	Fiber 100ppm+400ppm En anto	0.2	0.75	5	75
Film 3	Fiber 100ppm+600ppm En anto	0.2	0.75	5	75

نمونه های فیلم تهیه شده در ابعاد ۲×۲ سانتی متر برش داده شد در این آزمایش، ۰/۵ میلی لیتر گاز آمونیاک بر روی فیلم

## ۲-۷-۱-اثر گازهای بیوژنیک

## ۲-۸-پوشش دهی ماهی با نشانگر رنگی ساقه ریحان بر پایه فیبر سبوس بزنج

ماهی شیر با نام علمی (*Siganus commersonii*) با وزن حدود ۴۰۰ تا ۵۰۰ گرم بعد از خریداری از اسکله خلیج فارش شهر بوشهر با جعبه فیبری محتوای بخ به آزمایشگاه منتقل شد و پس از بعد از سر و دم زنی و جداسازی پوست و استخوان ماهی در دمای ۲۵ درجه سانتی گراد جهت کاهش بار میکروبی فیله های آماده شده را با محلول سدیم کلراید ۹ درصد و سپس با آب مقطر دوبار تقطیر شستشو داده شد. به منظور پایش فساد در نمونه ماهی، ۲۰ گرم نمونه ماهی درون یک پلیت استریل شده منتقل شد و پس از قراردادن درب بالای پلیت که قبل از روی آن فیلم حاوی غلاظت های عصاره آنتوسیانین انکپسوله شده از ساقه ریحان چسبیده شده بود (جدول ۱) مورد ارزیابی قرار گرفت سپس به یخچال ۴ درجه سانتی گراد منتقل شدند [۳۴]. آزمایش های شیمیابی، و طیفسنجی FTIR در فواصل زمانی (صفر-۱۰-۲۰-۳۰) بر روی فیله ماهی حاوی فیلم نشانگر رنگی انجام شد.

## ۲-۸-۱-اندازه گیری pH

۲ گرم نمونه گوشت ماهی از هر تیمار به ۱۰ میلی لیتر آب مقطر اضافه و به مدت ۱ دقیقه توسط دستگاه هموژنایزر (Germany Bandelin HD3200) هموژنیزه شد سپس pH نمونه ها با یک pH متر مدل (Metrohm 713) اندازه گیری شد [۳۵].

## ۲-۸-۲-اندازه گیری اسید چرب (FFA)

به منظور تعیین میزان شاخص اسیدهای چرب آزاد در نمونه گوشت ماهی، ۱۰ گرم نمونه گوشت ماهی همگن شده را با ۶۰ میلی لیتر متانول و ۶۰ میلی لیتر کلروفورم استخراج شد. پس از گذشت ۲۴ ساعت، ۴۸ میلی لیتر آب مقطر به محلول اضافه شد. ابتدا، ۵۰ میلی لیتر حلال (مخلوطی مساوی از اتانول ۹۶ درصد و دی اتیل اتر) به نمونه رونگ اضافه، سپس ۱ تا ۲ قطره فل فتالیئن به مخلوط اضافه شد. مخلوط با استفاده از تیتر سود ۰/۱ نرمال تیتر شد [۳۶].

چکانده شد و فیلم در یک ظرف با نشانگر بر چسب زنی شده قرار گرفت. سپس پس از یک ساعت، تغییر رنگ ثبت شد [۲۹].

## ۲-۷-۲-رطوبت

برای اندازه گیری رطوبت، ابتدا نمونه ها وزن شد و سپس در آون در دمای ۱۱۰ درجه سانتی گراد و به مدت ۳ ساعت تا رسیدن به وزن ثابت قرار گرفت و در نهایت رطوبت فیلم از رابطه (۲) به دست آمد [۳۰].

$$\text{۲. } M_1 (\%) = \frac{M_1 - M_2}{M_1} \cdot 100$$

اولیه نمونه  $M_2$ : وزن نمونه پس از خشک شدن می باشد

## ۲-۷-۳-اندازه گیری حلالت در آب

حلالت در آب به صورت درصد ماده خشک فیلم حل شده بعد از ۲۴ ساعت غوطه وری در آب بیان شد. فیلم های خشک شده در ۵۰ میلی لیتر آب مقطر دوبار تقطیر غوطه ور در دمای ۲۵ درجه سانتی گراد به مدت ۶ ساعت و با سرعت ۱۰۰ دوردر دقیقه همزده شد. سپس تکه های فیلم از آب جدا شد و پس از خشک شدن در دمای ۵۰ درجه سانتی گراد به مدت ۲۴ ساعت ساعت وزن شد. درصد حلالت فیلم ها از رابطه (۳) محاسبه شد [۳۱].

$$\text{۳. } \% \text{ Solubility} = \frac{w_1 - w_2}{w_1} \times 100$$

خشک اولیه  $w_2$ : وزن خشک نهایی

## ۲-۷-۴-ضخامت

ضخامت فیلم ها توسط میکرومتر با دقت ۰/۰۱ میلی متر تعیین شد. برای فیلم های آماده شده به منظور تعیین خواص مکانیکی ضخامت در ۸ نقطه در امتداد فیلم اندازه گیری شد [۳۲].

## ۲-۷-۵-کدورت (Opacity)

فیلم های تهیه شده به صورت قطعاتی کوچک بریده شد. سپس درون سل دستگاه اسپکترو فوتومتر (Schimadzu UV/Vis-240 IPC) قرار داده شد و جذب آن ها در طول موج ۶۰۰ نانومتر خوانده شد. از رابطه (۴) برای تعیین کدورت استفاده شد [۳۳].

$$\text{۴. } \text{Opacity} = \frac{\text{Absorbance at } 600 \text{ nm}}{\text{Film thickness (mm)}}$$

As    TBARS content =  $50 \times (As - Ab) / 5$   
200: جذب نمونه و Ab: جذب شاهد

#### ۵-۸-۲-آزمون طیف سنجی FTIR

برای انجام آزمون FTIR از دستگاه Spectrum Two, Perkin Elmer, USA (FTIR Perkin Elmer, USA) استفاده شد. قرص‌های نازکی از نمونه‌های ماهی پودرشده حاوی پوشش عصاره آنتوسيانین ساقه ریحان غنی از فیبر سبوس برنج با ضخامت کمتر از ۱ میلی‌متر از اختلاط آب و نمونه‌ها و پوشش دادن با برومید پتاسیم و توسط خشک‌کن انجمادی (operon Korea) در دمای ۷۰- درجه سانتی‌گراد خشک و سپس به نسبت ۱:۲۰ و اعمال فشار حدود ۶۰ کیلوپاسکال به مدت ۱۰ دقیقه در دستگاه پرس قرص به دست آمد و طیف عبور نمونه‌ها در محدوده عدد موجی ۴۰۰ تا ۴۰۰۰ بر سانتی‌متر و با قدرت تفکیک ۵ بر سانتی‌متر مورد آنالیز قرار گرفت [۳۹].

#### ۶-آنالیز آماری

تجزیه و تحلیل آماری داده‌ها برای خصوصیات فیزیکوشیمیایی و حسی تیمارها توسط روش آنالیز واریانس یک طرفه (ANOVA) در قالب طرح کاملاً تصادفی و سه تکرار انجام شد. مقایسه بین میانگین‌ها با استفاده از آزمون دانکن در سطح احتمال ۵ درصد انجام شد. تجزیه و تحلیل داده‌ها با استفاده از نرم‌افزار SPSS و رسم منحنی با استفاده از نرم‌افزار EXCEL انجام شد.

#### ۷-بحث و نتایج

۱-۳-اثر pH در آنتو سیانین استخراجی از ساقه ریحان (*Ocimum basilicum*) آنتوسيانین‌ها در محیط‌های اسیدی و قلیایی رنگ‌های مختلفی از خود نشان می‌دهند. این تغییر رنگ به عنوان اثر pH یا تغییر pH شناخته می‌شود. این تغییرات رنگ مربوط به تغییر در حالت اکسایش و اختلاف بار الکترونی در ساختار آنتوسيانین‌ها است pH تأثیر مستقیم بر این متغیرها دارد و با تغییر pH، تعادل بین حالت‌های اکسیده و تخلیص شده در آنتوسيانین تغییر می‌کند. بنابراین، pH می‌تواند تأثیر قابل توجهی بر رنگ و خواص آنتوسيانین داشته باشد و این

#### ۸-۳-اندازه‌گیری مجموع بازهای نیتروژنی فرار (TVB-N)

برای تعیین مقدار مواد ازته فرار در گوشت ماهی ۱۰ گرم نمونه گوشت ماهی را در یک بالن تقطیر ۱۰۰۰ میلی‌لیتر منتقل شد، سپس به بالن، ۲ گرم اکسید منیزیم، ۳۰۰ میلی‌لیتر آب مقطر، چند عدد سنگ جوش و کمی ضدکف اضافه شد، بالن را حرارت داده بعد از ۱۵ دقیقه به دمای جوش رسید. بخارهایی که از بالن تقطیر، مستقیماً در داخل اrlen مایری جمع شد. این اrlen مایر حاوی ۲۵ میلی‌لیتر محلول اسید بوریک ۲ درصد و چند قطره معرف متیل رد بود. جمعیت بخارها و محلول اسید بوریک در اrlen مایر به حجم ۱۵۰ میلی‌لیتر رسید. رنگ محلول اسید بوریک با معرف متیل رد که در ابتدا به دلیل خاصیت اسیدی قرمز بود، با تجمع بخارهای حاصل از تقطیر به تدریج قلیایی و سبز شد. در پایان، محلول حاصل از تجمع بخارهای تقطیر با استفاده از اسید سولفوریک ۰/۱ نرمال تا رسیدن به رنگ پوست پیازی تیتر شد، سپس مقدار مواد ازته فرار بر حسب میلی‌گرم درصد گرم نمونه محاسبه شد [۳۷].

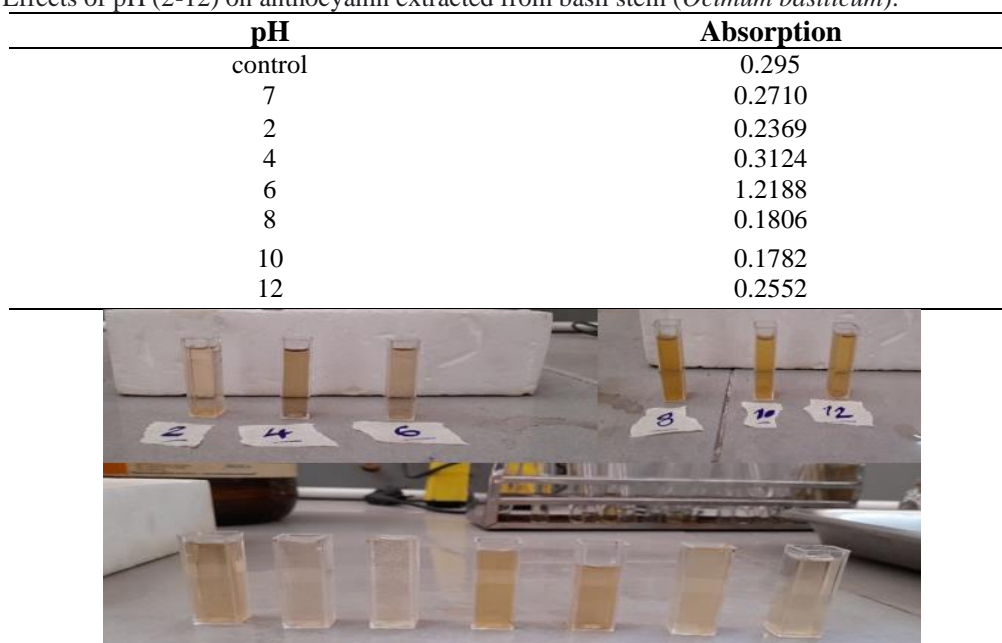
$$BNV\ T\ in\ mgN.100g = 14.(150 + A).V.F.N.100/V.a.P$$

#### ۸-۴-اندازه‌گیری اندیس تیوباربیوتوریک اسید (TBARS)

یک نمونه گوشت ماهی به وزن ۱۰ گرم در بالن تقطیر ۱۰۰ میلی‌لیتر قرار داده شد. ۹/۵ گرم آب مقطر به آن اضافه، و به مدت ۲ دقیقه هم زده شد. سپس ۲/۵ میلی‌لیتر اسید کلریدریک ۴ مولار افزوده شد. بعد از افزودن چند قطره ضدکف، بالن حرارت داده در مدت ۱۰ دقیقه از زمان جوش، ۵۰ میلی‌لیتر مایع تقطیر به دست آمد. سپس ۵ میلی‌لیتر از مایع تقطیر با ۴ میلی‌لیتر معرف تیوباربیوتوریک اسید مخلوط شد. لوله‌های آزمایشی به مدت ۳۵ دقیقه در بن‌ماری در دمای ۱۰۰ درجه سانتی‌گراد قرار گرفت. سپس جذب آن‌ها توسط دستگاه اسپکتروفوتومتر (Schimadzu UV/Vis-240 IPC) در طول موج ۵۳۸ نانومتر اندازه‌گیری شد (رابطه ۵) [۳۸].

یافت، رنگ‌ها از صورتی به قهوه‌ای تغییر کرد [۳۵]. همچنین کوشی و همکاران (۲۰۲۲) فیلم‌های حساس به pH هوشمند از پودر گل پیکان و پروتئین سویا ایزووله حاوی آنتوسیانین کلم قرمز تولید کردند و گزارش کردند که فیلم‌های ترکیب‌شده با آنتوسیانین تغییرات رنگ قابل توجهی را در بافرهای مختلف pH و حساسیت خوبی برای تشخیص بخار آمونیاک نشان دادند [۴۲]. نتایج پژوهش حاضر با پژوهش‌های پیشین همخوانی دارد. تغییرات رنگ قابل مشاهده و قابل توجه در آنتوسیانین با تغییر pH رخ داده است.

ویژگی می‌تواند در کاربردهای مختلفی مانند صنایع غذایی، تحقیقات آزمایشگاهی و غیره مورد استفاده قرار گیرد [۴۰ و ۴۱]. در شکل ۱ تاثیرات pH (۲ تا ۱۲) نشان داده شده که آنتوسیانین در pH اسیدی به سمت رنگ صورتی و در pH قلیایی به سمت زرد تغییر رنگ می‌دهد. اکرامی و همکاران (۲۰۲۲) در تحقیقی به بررسی نشانگر رنگی پاسخگو به pH زعفران (*L.Crocus sativus*) فیلم خوارکی موسیلاژ سالپ فعال شده با آنتوسیانین پرداختند، بررسی حساسیت pH نشان داد که تغییر pH محلول، رنگ آنتوسیانین را تغییر می‌دهد. هنگامی که pH ۳ به ۱۱ افزایش

Table 2. Effects of pH (2-12) on anthocyanin extracted from basil stem (*Ocimum basilicum*).Figure 1. Examination of entocyanine extracted from basil stem (*Ocimum basilicum*) at pH (2-12)

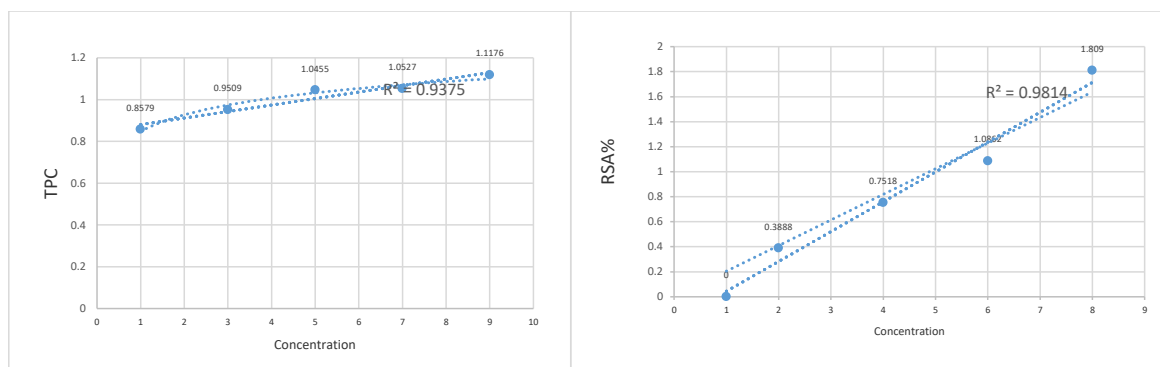
اکسیداتیو در بدن محافظت کنند و فرایند پیری سلول‌ها را کند کنند، خواص آنتی‌اکسیدانی آن‌ها باعث می‌شود تا در کاهش التهاب‌ها و حفظ سلامت قلب و عروق مؤثر باشند. در مورد ساقه ریحان، برخی تحقیقات نشان داده است که ساقه ریحان حاوی آنتوسیانین‌ها است و خواص آنتی‌اکسیدانی دارد [۴۳ و ۴۴].

### ۲-۳-بررسی خواص آنتی‌اکسیدانی و فتل تام آنتوسیانین ساقه ریحان (*Ocimum basilicum*)

آنتوسیانین‌ها یک نوع رنگدانه رنگی هستند که در گیاه ریحان، وجود دارند. این ترکیبات به دلیل وجود گروه‌های فنولیک در ساختارشان، خواص آنتی‌اکسیدانی بسیار قوی دارند. آنتی‌اکسیدان‌ها می‌توانند در مقابل آسیب‌های

Table 3. The amount of TFC, DPPH of anthocyanin extracted from basil stem (*Ocimum basilicum*)

Property	Amount	Unit
TFC	365.32	GAE/g
DPPH	82.25	%

Figure 2. Calibration of TFC, DPPH of anthocyanin extracted from basil stem (*Ocimum basilicum*)

طیف‌های حاصل از طیف سنجی مادون قرمز تبدیل فوریه مربوط به نمونه آنتوسبیانین ساقه ریحان در شرایط بهینه در شکل ۳ نشان داده شده است. در شکل ۱، نواحی جذبی مختلف قابل تشخیص هستند. نوار قوی در بازه ۳۳۰۰ تا ۳۵۰۰ بر سانتی‌متر، مربوط به گروه‌های عاملی OH موجود در ساختار آنتوسبیانین است. این گروه‌های عاملی OH عموماً با ارتباطات هیدروژنی در تشکیل ساختار پلیمری نقش دارند [۵۲ و ۵۳]. همچنین، پیکی که در طول موج ۲۲۱۱/۷۵ و ۱۴۶۰/۸۸ بر سانتی‌متر ظاهر می‌شود، مربوط به ارتعاشات کششی آلیفاتیک H-C است. این ارتعاشات شامل CH<sub>3</sub> و CH<sub>2</sub> و می‌باشد [۵۴ و ۵۵]. در پژوهشی از طیف‌سنجی FTIR برای تعیین کمیت محتوای آنتوسبیانین کل در عصاره‌های اتانولی آلو مورد بررسی قرار داده شد و نشان‌دهنده پتانسیل گسترده طیف‌سنجی FTIR برای تضمین کیفیت نمونه‌های آلو بر اساس عصاره‌های حلال آنها است [۳۹]. در پژوهشی دیگر استفاده از حلال‌های یوتکنیک عمیق به عنوان محیط سبز و زیست‌تخربی‌پذیر برای استخراج آنتوسبیانین از هویج سیاه استفاده شد و نتایج FTIR نشان داد که کلرید کولین خالص چندین گروه عملکردی را نشان می‌دهد و بسیاری از این گروه‌های عاملی پس از تشکیل حلال‌های یوتکنیک عمیق در کنار هم بوده اند [۵۶]. با استفاده از تجزیه و تحلیل طول موج‌ها (نوارهای جذبی و شناسایی نوارهای) مختلف، می‌توان مشخصات ساختاری و گروه‌های موجود در عصاره آنتوسبیانین ساقه ریحان را تحلیل و شناسایی کرد.

برای بررسی ظرفیت آنتی‌اکسیدانی نمونه آنتوسبیانین استخراجی از ساقه ریحان، از روش سنجش رنگ‌سنجی استفاده شد که بر اساس قابلیت نمونه به عنوان حذف‌کننده رادیکال‌های آزاد و کاهش‌دهنده کاتیون‌های رادیکال انجام می‌شود. در جدول ۳، میزان فنل تام (GAE/g) و (۸۲٪/۲۵) DPPH نشان داده شده است. آنتوسبیانین‌های استخراج شده از ساقه ریحان بالاترین ظرفیت آنتی‌اکسیدانی را داشتند. فنول‌ها مانند اسیدهای فنولیک، فلاونوئیدها و آنتوسبیانین‌ها، از جمله مشتقات گلیکوزیده و آسیله آن‌ها، در محاسبه فنل تام در نظر گرفته می‌شوند. با این حال، نتایج مطالعه حاضر کمتر از داده‌های گزارش شده توسط محققان پیشین بودند [۴۵ و ۴۶]. علاوه بر تکنیک استخراج، سیستم حلال نیز نقش مهمی در استخراج فنولی ایفا می‌کند. تحقیقات پیشین نشان داده‌اند که حلال اسیدی به ترتیب سنجش DPPH، حضور رادیکال‌های آزاد قبل توجه است و منطقی است که عملکرد این مطالعه بالاتر از نتایج گزارش شده قبلی باشد [۴۹، ۵۰ و ۳۶]. ترکیبات آنتی‌اکسیدانی قادر به اهدای اتم هیدروژن به منظور خاموش کردن رادیکال‌ها به ویژه گیاهانی که حاوی آنتوسبیانین‌ها هستند، هستند. به ویژه فلاویلیوم (کاتیون‌های فلاونوئیدی) در حلقه C ترکیبات فلاوونوئیدی، انتقال اتم هیدروژن را برای مهار اسکلت فلاونوئیدی، رادیکال تشویق می‌کنند [۵۱].

### ۳-۳-آزمون طیف‌سنجی FTIR آنتوسبیانین ساقه ریحان

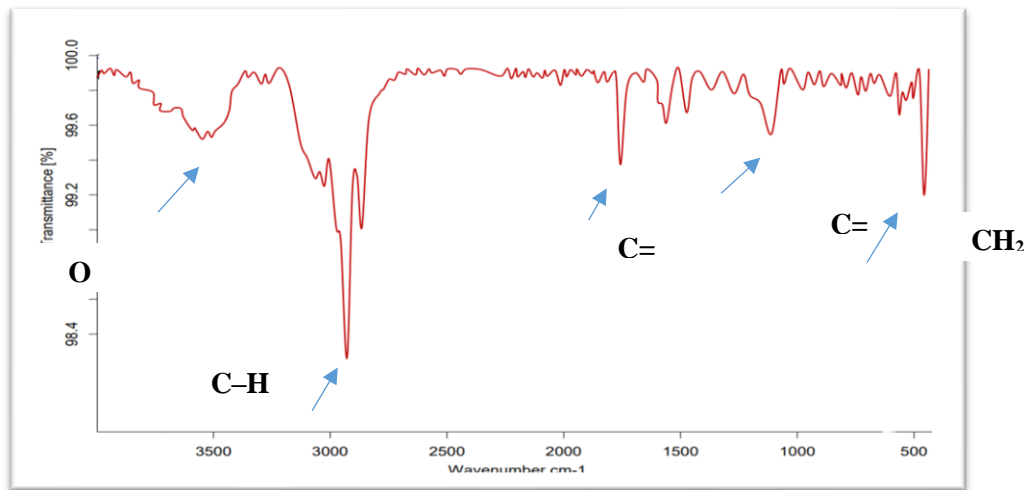


Figure 3. Fourier transform infrared spectroscopy in the identification of functional groups of anthocyanin extracted from basil stem from wavelength 400 to 4000  $\text{cm}^{-1}$  (*Ocimum basilicum*)

هنگام فساد مواد غذایی یا متابولیسم بافت درون زا تولید

می شوند. تیرامین، تریپتامین، پوتربیسین، کاداورین، اسپرمیدین و هیستامین از جمله آمین های بیوژنیک هستند [۵۷ و ۵۸]. این نوع از آمین ها در مواد غذایی از جمله گوشت مختلف وجود دارند. آنتوسیانین با توجه به ساختار شیمیایی خود می تواند به این آمین ها متصل شود.

#### ۴-۳-اثر گازهای بیوژنیک

آمین های بیوژنیک به عنوان نشانگر زیستی مهمی برای کنترل کیفیت غذا و تشخیص تازگی محصولات پروتئینی در نظر گرفته می شوند. آمین های بیوژنیک بازهای آلی با وزن مولکولی پایین هستند که عمدتاً توسط میکرووارگانیسم ها و از طریق دکربوکسیلاسیون آنزیمی اسیدهای آمینه خارجی در



Figure 4. Changes of biogenic gases on the film containing anthocyanin marker extracted from basil stem (*Ocimum basilicum*)

#### ۵-بررسی مورفولوژی فیلم حاوی نشانگر

در تصویر میکروسکوپ الکترونی روبشی (شکل ۵) به دست آمده، ملاحظه شد که سازگاری و امتصاص پذیری خوبی بین اجزاء در ماتریس فیلم حاوی نشانگر رنگی ساقه ریحان بر پایه فیبر سبوس برنج وجود دارد. وجود سورفاکtant هیدروفیلیک توانی-۸۰ در غلظت ۲ درصد وزنی و فاز روغنی حاوی امولسیفایر نانومولسیون شده در ماتریس فیلم باعث ایجاد سطوح ناهموار به دلیل تجمع قطرات روغن شد. نانومولسیون انکپسوله شده ممکن است در طی فرآیند قالب یا خشک کردن، دچار برخی از ناپایداری ها، جداسازی فاز ادغام شود. با این حال، با افزودن عصاره آنتوسیانین ساقه

شکل ۴ تغییرات رنگ نشانگر را در حضور گاز آمونیاک نشان می دهد. پس از یک ساعت قرار گرفتن در معرض گاز آمونیاک تغییر رنگ مشهودی در نشانگر مشاهده می شود.. همچنین در پژوهشی برای توسعه حسگرهای ساده، برای ارزیابی تازگی گوشت و تشخیص آمین های بیوژنیک، یک آرایه حسگر رنگ سنجی با چاپ نه رنگدانه طبیعی بر روی یک فیلم نانومتلخلخل آبگریز ساخته شد. این تحقیق نشان داد که رنگدانه های حاوی آنتوسیانین ممکن است یک حسگر رنگ سنجی بسیار مفید برای ارزیابی کیفیت گوشت باشد [۵۹]. این تغییر رنگ بدلیل تغییرات ساختاری آنتوسیانین در مجاورت آمین است [۶۰].

مولکولی بالایی بوده و میزان خلل و فرج در ساختار آن بسیار کم است. نقاط و برجستگی‌های موجود در بستر فیلم را می-توان به فیبر سبوس برنج که باعث تشکیل ذرات نامحلول است نسبت داد [۶۳]. در پژوهشی مشابه ستز و خصوصیات فیزیکوشیمیایی آنتوسيانین و نشاسته مبتنی بر فیلم پلیمری نشان داد فیلم توسعه یافته از نظر مورفولوژیکی ترکیب آنتوسيانین و نشاسته یک سطح صاف و همگن با پیوند هیدروژنی بین مولکولی ایجاد می‌کند که طول موج بیوپلیمر را افزایش می‌دهد [۶۴]. همچنین در پژوهش دیگر تاثیر عصاره تمشک قرمز غنی از آنتوسيانین بر ویژگی‌های فیلم‌های ایزوله پروتئین سویا خوارکی بررسی شد، هر دو فیلم سطح شکستگی همگن و صاف را داشتند و نشان داد سطح شکسته صاف از فیلم کترول سویا توسط گلیسروول نازک شده و سطح شکسته فیلم ایزوله سویا با آنتوسيانین تمشک قرمز گنجانده شده، ساختار سطح شکسته صاف را نشان می‌دهد که نشان‌دهنده سازگاری بین ایزوله سویا و آنتوسيانین است و ساختار نسبتاً همگن، پیوسته و بی‌شکلی داشت [۶۵]. [یانگ و لیو \(۲۰۲۰\)](#) و [شیوانگ و همکاران \(۲۰۲۱\)](#) گزارش کردند مواد پلیمری زیستی مورد استفاده برای ساخت فیلم، منبع و مقدار رنگدانه اضافه شده، و روش‌های مورد استفاده برای ساخت فیلم بر ریزساختار فیلم‌های غنی از آنتوسيانین تأثیر می‌گذارد [۶۶ و ۶۷].

ریحان در فیلم بر پایه سبوس برنج، تغییراتی در زنجیره‌های پلیمری رخ داد که منجر به کاهش تخلخل ماتریس فیلم شد. نتایج میکروسکوپ الکترونی رویشی تغییرات مشابهی در فیلم خوارکی آلتینات سدیم/ کیتوزان حاوی عصاره آنتوسيانین چغندر قرمز در مطالعه بسته بندی هوشمند نشان داد که عصاره باعث تغییرات در زنجیره‌های پلیمری و افزایش تخلخل ماتریس فیلم می‌شود [۶۱]. همچنین یافته های حاضر با یافته های گزارش شده، که تغییرات مشابهی را در ریزساختار یک فیلم مبتنی بر ژلاتین با ترکیب عصاره کورکومین مشاهده شد، مطابقت دارد [۶۲]. نمونه‌های فیلم حاوی نشانگر رنگی ساقه ریحان (*Ocimum basilicum*) بر پایه فیبر سبوس برنج دارای ساختاری متخلخل هستند و اکثراً دارای تخلخل‌هایی از نوع تخلخل‌های کوچک هستند با توجه به تصاویر میکروسکوپ الکترونی رویشی، حفرات موجود در نمونه دارای ساختار کروی هستند و پیوستگی بین آنها به وضوح قابل مشاهده است. تصاویر به وضوح یک ساختار ظریف از پخش یکنواخت و هماهنگ ذرات نانومولسیون از آنتوسيانین ساقی ریحان در ابعاد نانومتری را در بین زنجیرهای پلیمری یا ماتریس پلیمری نشان می-دهند. تصاویر میکروسکوپ الکترونی رویشی از سطح مقطع تیمارها نشان می‌دهد فیلم‌های حاوی نشانگر رنگی ساقه ریحان بر پایه فیبر سبوس برنج زیست‌تخرب پذیر نانومولسیون انکپسوله شده (Film) دارای تراکم بین

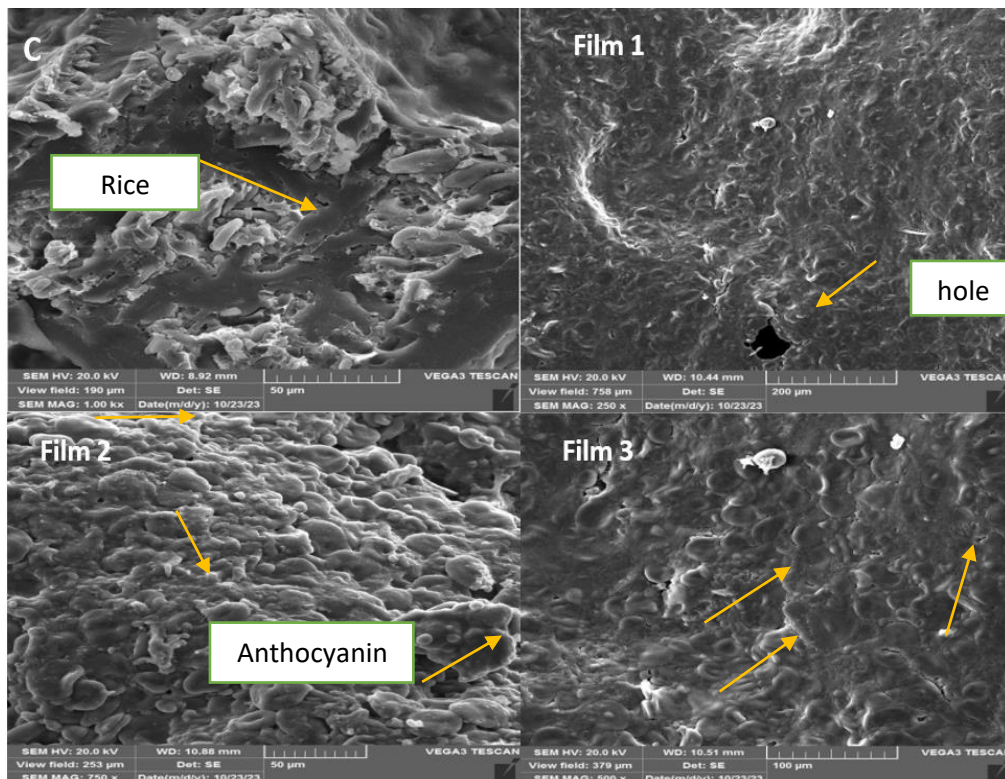


Figure 5. Morphology of the film containing endocyanine marker of basil stem (*Ocimum basilicum*). (Film C (control): 0.2 gr of CMC + 0.75% Glycerol + 75 gr double distilled water, Film 1: Rice bran fiber 100ppm+ 200ppm Basil stem anthocyanin extract encapsulated+ 0.2 g CMC + 0.75 % Glycerol+ 10 Stock cmc souton % + 75 g Double distilled water, Film 2: Rice bran fiber 100ppm+ 400ppm Basil stem anthocyanin extract encapsulated+ 0.2 g CMC+ 0.75 % Glycerol +10 Stock cmc souton % + 75 g Double distilled water, Film 3: Rice bran fiber 100ppm+ 600ppm Basil stem anthocyanin extract encapsulated+ 0.2 g CMC+ 0.75 % Glycerol+ 10 Stock cmc souton %+ 75 g Double distilled water)

۶۰۰ پی‌پی‌ام حاوی عصاره آنتوسيانین ساقه ریحان مشاهده شد. در بررسی حلالیت تفاوت معنی‌داری بین تیمارها مشاهده شد. بین تیمارهای حاوی ۲۰۰ پی‌پی‌ام و ۴۰۰ پی‌پام عصاره آنتوسيانین ساقه ریحان تفاوت معناداری وجود نداشت. بیشترین مقدار  $46/53 \pm 1/00$  درصد  $\pm$  در تیمار ۶۰۰ پی‌پام حاوی عصاره آنتوسيانین ساقه ریحان و کمترین مقدار  $23/14 \pm 1/00$  درصد در تیمار حاوی ۲۰۰ پی‌پام عصاره آنتوسيانین ساقه ریحان مشاهده شد. نتایج نشان می‌دهد که تیمار حاوی ۴۰۰ پی‌پام عصاره آنتوسيانین، ضخامت کمتری نسبت به سایر تیمارها داشته است. این ممکن است به دلیل غلظت مناسب آنتوسيانین باشد که به بهبود خواص فیزیکی فیلم کمک کرده است. در غلظت‌های بالاتر (۶۰۰ پی‌پام)، ممکن است اثرات منفی بر روی ساختار فیلم ایجاد شده باشد که منجر به افزایش ضخامت

### ۳-۶-نتایج خصوصیات فیزیکی فیلم حاوی نشانگر رنگی ساقه ریحان (*Ocimum basilicum*) بر پایه فیبر سبوس برنج

با افزایش مقدار آنتوسيانین ساقه ریحان، (جدول ۴) میزان دانسیته افزایش یافت. بین تیمار کترل و تیمار حاوی ۲۰۰ پی‌پام آنتوسيانین ساقه ریحان تفاوت معناداری وجود نداشت. همچنین بین تیمارهای حاوی ۴۰۰ پی‌پام و ۶۰۰ پی‌پام عصاره آنتوسيانین ساقه ریحان تفاوت معناداری وجود نداشت. در بررسی ضخامت، بین تیمارهای کترل و تیمارهای حاوی ۲۰۰ پی‌پام و ۶۰۰ پی‌پام عصاره آنتوسيانین ساقه ریحان، اختلاف معناداری وجود نداشت. میزان ضخامت در تیمار حاوی ۴۰۰ پی‌پام عصاره آنتوسيانین ساقه ریحان، به طور معنی‌داری کمتر از سایر تیمارها بود ( $p \leq 0.05$ ). بیشترین مقدار  $1/70 \pm 0.05$  میلی‌متر در تیمار

هیدروکسی ممکن است به عنوان پلاستی سایر عمل کند، حجم آزاد و تحرک ماکرومولکولی بین پلیمری را افزایش دهد و در نتیجه شبکه پلیمری به دلیل کاهش نیروهای بین مولکولی، چگالی کمتری پیدا می‌کند و در نتیجه قابلیت کشش و انعطاف پذیری لایه‌ها را بهبود می‌بخشد [۶۸، ۶۹، ۷۰]. محتمای رطوبت مقدار  $16/32 \pm 0/05$  درصد در تیمار  $200$  پی‌پی‌ام نسبتاً محدود در فیلم‌های تولید شده با عصاره آنتوسيانین ساقه ریحان ممکن است به دلیل برهم-کنش بین گروههای آمین و OH فیبر سبوس برنج و آنتوسيانین‌ها باشد که ممکن است برهم‌کنش فیبر سبوس برنج آب را محدود کند ترکیب و کمیت آنتوسيانین‌ها از عوامل اصلی در میزان رطوبت فیلم‌ها هستند [۷۱، ۷۲، ۷۳]. در پژوهشی سهانی (۲۰۲۱) خصوصیات نشاسته سیب‌زمینی شیرین بنفش مرتبط با آنتوسيانین و فیلم‌های شاخص pH مبتنی بر پوست بررسی شده گزارش شد که ضخامت، حلایت در آب و درجه تورم فیلم‌ها با افزایش آنتوسيانین افزایش یافت [۷۴]. همچنین در پژوهش‌های پیشین بررسی شده که حضور آنتوسيانین تغییراتی در توانایی مکانیکی و اثرات رطوبت بر روی فیلم‌های تولید شده می‌گذارد که با پژوهش انجام شده مطابقت دارد [۷۵، ۷۶، ۷۷].

Table 4. The results of the physicochemical characteristics of the film containing the color indicator of basil stem based on rice bran fiber.

Treatment	Day 1	Day 10	Day 20	Day 30
density( $\text{g}/\text{mm}^3$ )	$1.114 \pm 0.01^{\text{B}}$	$1.116 \pm 0.01^{\text{B}}$	$1.139 \pm 0.01^{\text{A}}$	$1.149 \pm 0.01^{\text{A}}$
Thickness (mm)	$1.62 \pm 0.02^{\text{A}}$	$1.67 \pm 0.05^{\text{A}}$	$1.10 \pm 0.05^{\text{B}}$	$1.70 \pm 0.05^{\text{A}}$
solubility (%)	$28.39 \pm 1.00^{\text{A}}$	$23.14 \pm 1.00^{\text{C}}$	$24.47 \pm 1.00^{\text{C}}$	$46.53 \pm 1.00^{\text{A}}$
Moisture (%)	$19.29 \pm 0.5^{\text{C}}$	$16.32 \pm 0.5^{\text{B}}$	$17.69 \pm 0.5^{\text{C}}$	$22.53 \pm 1.00^{\text{A}}$
Opacity ( $\text{mm}^{-1}$ )	$43.26 \pm 1.00^{\text{A}}$	$22.45 \pm 1.00^{\text{B}}$	$20.92 \pm 1.00^{\text{B}}$	$18.34 \pm 0.5^{\text{B}}$

Different alphabets a,b indicates significant difference between groups. (Film C (control): 0.2 gr of CMC + 0.75% Glycerol + 75 gr double distilled water, Film 1: Rice bran fiber 100ppm+ 200ppm Basil stem anthocyanin extract encapsulated+ 0.2 g CMC + 0.75 % Glycerol+ 10 Stock cmc souton % + 75 g Double distilled water, Film 2: Rice bran fiber 100ppm+ 400ppm Basil stem anthocyanin extract encapsulated+ 0.2 g CMC+ 0.75 % Glycerol +10 Stock cmc souton % + 75 g Double distilled water, Film 3: Rice bran fiber 100ppm+ 600ppm Basil stem anthocyanin extract encapsulated+ 0.2 g CMC+ 0.75 % Glycerol+ 10 Stock cmc souton %+ 75 g Double distilled water)

در بررسی pH (جدول ۵) تفاوت معناداری بین نتایج حاصل از تیمارها در طول دوره نگهداری مشاهده شد ( $p \leq 0/05$ ). در طول مدت زمان نگهداری در تیمار کنترل و تیمار حاوی  $400$  پی‌پی‌ام عصاره آنتوسيانین ساقه ریحان روند pH افزایش داشت. مقدار این فاکتور در تیمارهای حاوی  $200$

شده است. در غلظت‌های بالاتر، ویسکوزیته ممکن است افزایش یابد و این امر می‌تواند منجر به کاهش ضخامت فیلم در هنگام خشک شدن شود، زیرا فیلم به طور یکنواخت و نازک‌تر پخش می‌شود. وجود آنتوسيانین‌ها ممکن است پیوندهای هیدروژنی و برهم‌کش‌های بین مولکولی را تقویت کند که می‌تواند بر ضخامت تأثیر بگذارد. در غلظت‌های خاص، این پیوندها می‌توانند به ساختار محکم‌تری منجر شوند و در نتیجه ضخامت فیلم را کاهش دهند [۷۱]. در بررسی رطوبت تفاوت معناداری بین تیمارها مشاهده شد ( $p \leq 0/05$ ). با افزایش درصد عصاره آنتوسيانین ساقه ریحان، روند متغیری در میزان رطوبت مشاهده شد. بیشترین مقدار (۴۶/۱  $\pm ۵/۰$  درصد) در تیمار حاوی  $600$  پی‌پی‌ام عصاره آنتوسيانین ساقه ریحان و کمترین مقدار (۱۶/۰  $\pm ۳/۲$  درصد) در تیمار  $200$  پی‌پی‌ام عصاره آنتوسيانین ساقه ریحان مشاهده شد. در بررسی کدورت تفاوت معنی‌داری بین تیمارها مشاهده شد و با افزایش درصد عصاره آنتوسيانین ساقه ریحان، روند کاهشی در میزان کدورت مشاهده شد. بین تیمارهای حاوی  $200$  پی‌پی‌ام و  $400$  پی‌پی‌ام حاوی عصاره آنتوسيانین ساقه ریحان تفاوت معناداری وجود نداشت ( $p \leq 0/05$ ). آنتوسيانین با گروههای

### ۳-۷-بررسی خصوصیات شیمیایی نمونه‌های ماهی

پوشش داده شده با فیلم حاوی نشانگر رنگی ساقه ریحان بر پایه فیبر سبوس برنج

به دلیل دناتوره شدن پروتئین منجر به آزاد شدن ترکیبات آمینه مانند آمین‌ها، دی‌متیل‌آمین و تری‌متیل‌آمین در طی تجزیه اسیدهای آمینه و پروتئین‌ها است همچنین وجود ترکیبات ضدمیکروبی و آنتی‌اکسیدانی در فیلم حاوی نشانگر رنگی ساقه ریحان بر پایه فیبر سوس برج بر شد باکتری های فساد تأثیر گذاشت و در نتیجه pH کاهش یافت [۷۸ و ۷۹]. **یو و همکاران (۲۰۲۲)** یک فیلم بسته بندی ماهی، کامپوزیتی آنتی باکتریال آنتوسبیانین کوئیاک گلوکومانان/کربوکسی متیل سلولز/انگور سیاه بررسی کردند و به خواص آنتی اکسیدانی و ضد باکتریایی آنتوسبیانین انگور سیاه پی برندند و اثر مهاری بر پاتوژن‌های منتقله از غذا دارد [۸۰].

Table 5. Examining the pH of fish samples coated with a film containing basil stem color indicator based on rice bran fiber.

Treatment	Day 1	Day 10	Day 20	Day 30
Film C	7.10 ± 0.05 Cd	8.30 ± 0.05 Ac	9.60 ± 0.05 Ab	10.30 ± 0.05 Aa
Film 1	7.40 ± 0.05 Bc	7.10 ± 0.05 Dd	8.30 ± 0.05 Cb	10.10 ± 0.05 Ba
Film 2	6.90 ± 0.05 Dd	7.80 ± 0.05 Bc	8.10 ± 0.05 Db	9.70 ± 0.05 Ca
Film 3	7.50 ± 0.05 Ac	7.20 ± 0.05 Cd	8.30 ± 0.05 Bb	8.70 ± 0.05 Da

The results are presented in the form of average standard deviation for each treatment, all experiments were done in three repetitions. In each column, the values with different uppercase letters and in each row the values with different lowercase letters have a significant difference at the 5% level. (Film C (control): 0.2 gr of CMC + 0.75% Glycerol + 75 gr double distilled water, Film 1: Rice bran fiber 100ppm+ 200ppm Basil stem anthocyanin extract encapsulated+ 0.2 g CMC + 0.75 % Glycerol+ 10 Stock cmc souton % + 75 g Double distilled water, Film 2: Rice bran fiber 100ppm+ 400ppm Basil stem anthocyanin extract encapsulated+ 0.2 g CMC+ 0.75 % Glycerol +10 Stock cmc souton % + 75 g Double distilled water, Film 3: Rice bran fiber 100ppm+ 600ppm Basil stem anthocyanin extract encapsulated+ 0.2 g CMC+ 0.75 % Glycerol+ 10 Stock cmc souton %+ 75 g Double distilled water)

مقدار (۵/۰±۰/۰۱) درصد در تیمار کنترل در روز سی ام و کمترین مشاهده شد. میزان اسیدهای چرب آزاد با افزایش زمان نگهداری تا روز ۳۰ روند صعودی داشت. کاهش نهایی چربی در نمونه‌های اندازه‌گیری شده احتمالاً به دلیل اکسیداسیون چربی و تاثیر موثر فساد هیدرولیتیکی چربی و تبدیل آن به اسیدهای چرب آزاد می‌باشد. در پژوهش‌های پیشین اشاره شده است که افزودن عصاره‌های گیاهی به ماهی می‌تواند باعث کنترل روند افزایشی اسیدهای چرب آزاد در ماهی شود [۸۱ و ۸۲]. در مطالعه پیشین گزارش شده توانایی مهار رادیکال‌های آزاد یا کلاته‌کردن یون‌های فلزی توسط

پی‌پی‌ام و ۶۰۰ پی‌پی‌ام عصاره آنتوسبیانین ساقه ریحان، در روز دهم کاهش و پس از آن افزایش یافته است. همچنین بین pH نمونه‌های تهیه شده در هر روز تفاوت معنی داری وجود داشت ( $p\leq 0/05$ ). در طی دوره با افزایش مقدار عصاره آنتوسبیانین ساقه ریحان، مقدار pH روند متغیر داشت. در روز تولید بیشترین مقدار pH مربوط به تیمار حاوی ۶۰۰ پی‌پی‌ام عصاره آنتوسبیانین ساقه ریحان بود. بیشترین مقدار (۱۰/۰±۳۰/۰۵) در تیمار کنترل در روز سی ام و کمترین مقدار (۶/۹۰±۰/۰۵) در تیمار حاوی ۴۰۰ پی‌پی‌ام عصاره آنتوسبیانین ساقه ریحان در روز تولید مشاهده شد. افزایش pH در فیله‌های ماهی حاوی اندیکاتور به دلیل تولید دی اکسید کربنی از بافت ماهی در مقایسه با ماهی کنترل در شرایط معمولی کمتر بود افزایش pH در طول دوره نگهداری،

### ۳-۸- اسید چرب FFA

در بررسی اسید چرب (جدول ۶) تفاوت معناداری بین نتایج حاصل از تیمارها در همه دوره‌ها مشاهده شد ( $p\leq 0/05$ ). مقدار این فاکتور با گذشت زمان (۱ تا ۳۰ روز) در تمامی تیمارها روند افزایشی داشت. همچنین بین میزان اسید چرب نمونه‌های تهیه شده در هر روز تفاوت معنی داری وجود داشت ( $p\leq 0/05$ ). در روز تولید با افزایش مقدار عصاره آنتوسبیانین ساقه ریحان، مقدار اسید چرب افزایش یافت. در سایر روزها با افزایش مقدار عصاره آنتوسبیانین ساقه ریحان، مقدار اسید چرب روند متغیر داشت. بیشترین مقدار

ترکیبات فنلی عصاره‌ها را دلیل اثربخشی آن‌ها در کنترل اسیدهای چرب آزاد در ماهی تیمارشده با عصاره‌ی فنلی جلبک دریابی اعلام کردند.

Table 6. Fatty acid results of fish coated with rice bran fiber-based basil stem color indicator.

Treatment	Day 1	Day10	Day20	Day30
Film C	0.015 ± 0.001 Dd	2.43 ± 0.05 Ac	3.87 ± 0.05 Bb	5.27 ± 0.5 Aa
Film 1	1.32 ± 0.05 Cd	1.82 ± 0.05 Bc	2.37 ± 0.05 Db	4.65 ± 0.5 ABa
Film 2	1.45 ± 0.05 Bb	1.78 ± 0.05 Bb	3.98 ± 0.05 Aa	4.21 ± 0.5 Ba
Film 3	1.72 ± 0.05 Ac	1.81 ± 0.05 Bc	3.65 ± 0.05 Cb	4.54 ± 0.5 ABa

The results are presented in the form of average standard deviation for each of the treatments, all the experiments were done in three repetitions. In each column, the values with different uppercase letters and in each row the values with different lowercase letters have a significant difference at the 5% level. (Film C (control): 0.2 gr of CMC + 0.75% Glycerol + 75 gr double distilled water, Film 1: Rice bran fiber 100ppm+ 200ppm Basil stem anthocyanin extract encapsulated+ 0.2 g CMC + 0.75 % Glycerol+ 10 Stock cmc souton % + 75 g Double distilled water, Film 2: Rice bran fiber 100ppm+ 400ppm Basil stem anthocyanin extract encapsulated+ 0.2 g CMC+ 0.75 % Glycerol +10 Stock cmc souton % + 75 g Double distilled water, Film 3: Rice bran fiber 100ppm+ 600ppm Basil stem anthocyanin extract encapsulated+ 0.2 g CMC+ 0.75 % Glycerol+ 10 Stock cmc souton %+ 75 g Double distilled water)

در روزهای اول و سی ام، به طور معنی‌داری کمتر از سایر روزها می‌باشد ( $p \leq 0.05$ ). همچنین بین مقدار پروتئین نمونه‌های تهیه شده در روزهای اول، بیستم و سی ام تفاوت معنی‌داری وجود نداشت ( $p \leq 0.05$ ). بیشترین مقدار ۱۹/۱۵ ± ۰/۰۵ درصد) و کمترین مقدار (۱۹/۱۵ ± ۰/۰۰) در تیمار حاوی ۴۰۰ پی‌پی ام عصاره آنتوسیانین ساقه ریحان به ترتیب در روزهای بیستم و سی ام مشاهده شد. در بررسی ازت فرار تام (جدول ۹) تفاوت معناداری بین نتایج حاصل از تیمارها در همه دوره‌ها مشاهده شد (۰/۰۵). مقدار این فاکتور با گذشت زمان (۱ تا ۳۰ روز) در تیمار کنترل روند متغیر داشت. اما در سایر تیمارها، میزان تری‌متیل‌آمین در روز دهم کاهش و پس از آن افزایش یافت. همچنین بین میزان تری‌متیل‌آمین نمونه‌های تهیه شده در هر روز تفاوت معنی‌داری وجود داشت ( $p \leq 0.05$ ). در روز تولید با افزایش مقدار عصاره آنتوسیانین ساقه ریحان، میزان تری‌متیل‌آمین به طور معنی‌داری افزایش یافته است ( $p \leq 0.05$ ). بیشترین مقدار (۳/۳۱ ± ۰/۰۵ میلی‌گرم در ۱۰۰ گرم) در تیمار حاوی ۴ درصد آنتوسیانین ساقه ریحان در روز سی ام و کمترین مقدار (۰/۰۳ ± ۰/۰۱ میلی‌گرم در ۱۰۰ گرم) در تیمار حاوی ۶ درصد آنتوسیانین ساقه ریحان در روز دهم مشاهده شد.

بین مقدار پروتئین (جدول ۸) در تیمار کنترل و تیمار حاوی ۶۰۰ پی‌پی ام عصاره آنتوسیانین ساقه ریحان در طول مدت زمان نگهداری، تفاوت معنی‌داری مشاهده نشد ( $p \leq 0.05$ ). اما در تیمار حاوی ۲۰۰ پی‌پی ام عصاره آنتوسیانین ساقه ریحان، مقدار پروتئین در روز دهم به طور معنی‌داری کمتر از سایر روزها می‌باشد ( $p \leq 0.05$ ). در تیمار حاوی ۴۰۰ پی‌پی ام عصاره آنتوسیانین ساقه ریحان، مقدار پروتئین

معنی دار عصارهای مختلف گیاهی در کترل شاخص کل نیتروژن بازی فرار محصولات دریایی اشاره شده است این داده‌ها مشابه یافته‌های مطالعات قبلی است، به این معنی که آزمایش نتایج محکمی را نشان می‌دهد [۸۵، ۸۶، ۸۷]. تری-متیل‌آمین بخش قابل توجهی از کل نیتروژن بازی فرار را تشکیل می‌دهد. تری-متیل‌آمین و اکسید تری-متیل‌آمین با پاتوژن‌بیماری‌های غیرواگیر از جمله تصلب شرايين، سرطان ها و دیابت مرتبط هستند [۸۸].

نیتروژن را کترل می‌کند دامنه وسیعی از ترکیبات پایه‌ای فرار از جمله آمونیاک، متیل‌آمین، دی-متیل‌آمین، تری-متیل‌آمین و دیگر ترکیبات مشابه که در اثر فعالیت‌های میکروبی و آنزیمی تولید می‌شوند، تحت عنوان کل نیتروژن بازی فرار جهت نشان دادن فساد گوشتش مورد استفاده قرار می‌گیرد [۸۳ و ۸۴]. **شکل ۶** روند کل نیتروژن بازی فرار و تغییر رنگ سنسورهای فیلم حاوی نشانگر آنتوسبیانین ساقه ریحان را نشان می‌دهد. در پژوهش‌های دیگری نیز، به اثر مثبت و

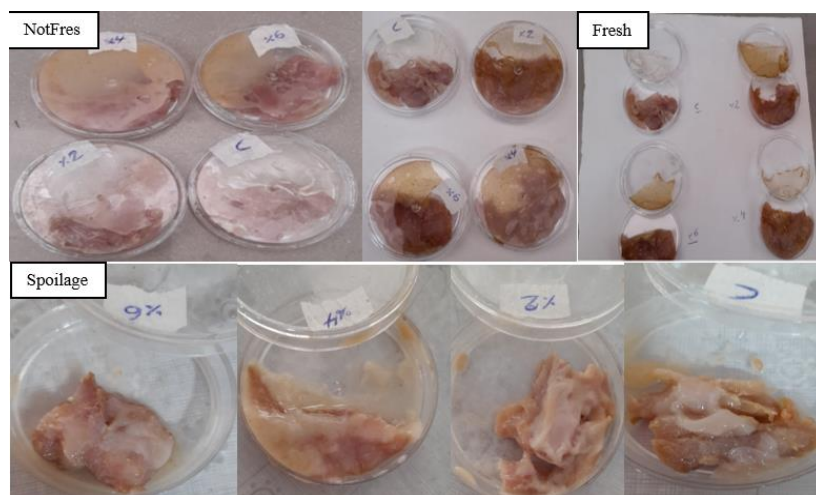


Figure 6. Color change of anthocyanin indicator extracted from basil stem on the freshness of lionfish (*Siganus commersonnii*) at 4°C

کاداورین، اسپرمن، اسپرمیدین، تیرامین، تریپتامین) را در سطوح نسبتاً پایین محدود کرد [۸۹]. تغییرات شیمیایی مشابهی در ماهی‌ها پس از مرگ مشاهده شده است. تاهیر و همکاران (۲۰۲۲) در پژوهشی اثرات مثبت آنتوسبیانین را بر روی گوشت و استفاده آنها به عنوان نشانگر و مهار اثرات منفی گزارش شده [۹۰]، که با مطالعات حاضر مطابقت دارد.

یافته‌های این مطالعه با نتایج هیو و همکاران (۲۰۲۳) که مهار اکسیداسیون لیپید، تخریب پروتئین و تجمع آمین بیوژنیک در ماهی پس از مرگ با لایه‌های لعاب عملکردی پلیمر زیستی اصلاح شده را مطالعه کردند، مشخص کرد که ذخیره سازی لعاب، تغییر درجه فساد منعکس شده پیتیدهای محلول و کل نیتروژن بازی فرار را مهار کرد. لعاب همچنین محتويات بیوژنیک آمین‌های اصلی (هیستامین، پوترسین)،

Table 7. The results of trimethylamine changes of fish coated with a film containing basil stem color marker based on rice bran fiber

Treatment	Day 1	Day 10	Day 20	Day 30
Control	0.59 ± 0.05 <sup>Cb</sup>	1.15 ± 0.02 <sup>Bc</sup>	0.71 ± 0.05 <sup>Da</sup>	0.06 ± 0.01 <sup>Dd</sup>
Film 1	2.43 ± 0.05 <sup>Bb</sup>	0.25 ± 0.02 <sup>Ad</sup>	1.65 ± 0.05 <sup>Cc</sup>	2.54 ± 0.05 <sup>Ca</sup>
Film2	2.34 ± 0.05 <sup>Bb</sup>	0.12 ± 0.02 <sup>Bd</sup>	2.24 ± 0.05 <sup>Bc</sup>	3.31 ± 0.05 <sup>Aa</sup>
Film3	2.56 ± 0.05 <sup>Ab</sup>	0.03 ± 0.01 <sup>Cc</sup>	2.54 ± 0.05 <sup>Ab</sup>	2.97 ± 0.05 <sup>Ba</sup>

The results are presented in the form of average standard deviation for each of the treatments, all the experiments were done in three repetitions. In each column, the values with different uppercase letters and in each row the values with different lowercase letters have a significant difference at the 5% level. (Film C (control): 0.2 gr of CMC + 0.75% Glycerol + 75 gr double distilled water, Film 1: Rice bran fiber 100ppm+ 200ppm Basil stem anthocyanin extract encapsulated+ 0.2 g CMC + 0.75 % Glycerol+10 Stock cmc souton % + 75 g Double distilled water, Film 2: Rice bran fiber 100ppm+ 400ppm Basil stem anthocyanin extract encapsulated+ 0.2 g CMC+ 0.75 % Glycerol +10 Stock cmc souton % + 75 g Double distilled water, Film 3: Rice bran fiber 100ppm+ 600ppm

Basil stem anthocyanin extract encapsulated+ 0.2 g CMC+ 0.75 % Glycerol+ 10 Stock cmc souton % + 75 g Double distilled water)

Table 8. The results of protein changes of fish coated with a film containing basil stem color marker based on rice bran fiber

Treatment	Day 1	Day10	Day20	Day30
Film C	20.32 ± 1.00 <sup>Aa</sup>	21.34 ± 1.00 <sup>ABa</sup>	20.74 ± 1.00 <sup>Aa</sup>	20.54 ± 1.00 <sup>Aa</sup>
Film 1	21.32 ± 1.00 <sup>Aa</sup>	19.32 ± 1.00 <sup>Cb</sup>	21.47 ± 1.00 <sup>Aa</sup>	21.16 ± 1.00 <sup>Aa</sup>
Film 2	20.32 ± 1.00 <sup>Ab</sup>	22.34 ± 1.00 <sup>Aa</sup>	22.43 ± 1.00 <sup>Aa</sup>	19.15 ± 0.5 <sup>Ab</sup>
Film 3	20.16 ± 1.00 <sup>Aa</sup>	20.45 ± 1.00 <sup>BCa</sup>	21.27 ± 1.00 <sup>Aa</sup>	20.47 ± 1.00 <sup>Aa</sup>

The results are presented in the form of average standard deviation for each of the treatments, all the experiments were done in three repetitions. In each column, the values with different uppercase letters and in each row the values with different lowercase letters have a significant difference at the 5% level. (Film C (control): 0.2 gr of CMC + 0.75% Glycerol + 75 gr double distilled water, Film 1: Rice bran fiber 100ppm+ 200ppm Basil stem anthocyanin extract encapsulated+ 0.2 g CMC + 0.75 % Glycerol+ 10 Stock cmc souton % + 75 g Double distilled water, Film 2: Rice bran fiber 100ppm+ 400ppm Basil stem anthocyanin extract encapsulated+ 0.2 g CMC+ 0.75 % Glycerol +10 Stock cmc souton % + 75 g Double distilled water, Film 3: Rice bran fiber 100ppm+ 600ppm Basil stem anthocyanin extract encapsulated+ 0.2 g CMC+ 0.75 % Glycerol+ 10 Stock cmc souton % + 75 g Double distilled water)

Table 9. The results of changes in volatile nitrogen of whole fish coated with a film containing basil stem color marker based on rice bran fiber

Treatment	Day 1	Day10	Day20	Day30
Film C	11.01 ± 0.5	11.3 ± 0.5 <sup>Ab</sup>	14.45 ± 0.5 <sup>Ab</sup>	12.43 ± 0.5 <sup>BCa</sup>
Film 1	11.06 ± 0.5 <sup>Ac</sup>	11.2 ± 0.5 <sup>Ac</sup>	12.65 ± 0.5 <sup>Ab</sup>	14.81 ± 0.5 <sup>Aa</sup>
Film 2	11.06 ± 0.5 <sup>Ac</sup>	11.11 ± 0.5 <sup>Ac</sup>	12.24 ± 0.5 <sup>Ab</sup>	13.5 ± 0.5 <sup>Ba</sup>
Film 3	11.06 ± 0.5 <sup>Ab</sup>	11.04 ± 0.5 <sup>Ab</sup>	12.32 ± 0.5 <sup>Aa</sup>	13.09 ± 0.5 <sup>Ca</sup>

The results are presented in the form of average standard deviation for each of the treatments, all the experiments were done in three repetitions. In each column, the values with different uppercase letters and in each row the values with different lowercase letters have a significant difference at the 5% level. (Film C (control): 0.2 gr of CMC + 0.75% Glycerol + 75 gr double distilled water, Film 1: Rice bran fiber 100ppm+ 200ppm Basil stem anthocyanin extract encapsulated+ 0.2 g CMC + 0.75 % Glycerol+ 10 Stock cmc souton % + 75 g Double distilled water, Film 2: Rice bran fiber 100ppm+ 400ppm Basil stem anthocyanin extract encapsulated+ 0.2 g CMC+ 0.75 % Glycerol +10 Stock cmc souton % + 75 g Double distilled water, Film 3: Rice bran fiber 100ppm+ 600ppm Basil stem anthocyanin extract encapsulated+ 0.2 g CMC+ 0.75 % Glycerol+ 10 Stock cmc souton % + 75 g Double distilled water)

گروه فنیل در ساختارش به راحتی به صورت رادیکال درآمده

و در واقع منبع رادیکال آزاد می‌باشد [۹۱]. طبق شکل (۷)

در بررسی میزان آنتی‌اکسیدان تفاوت معناداری بین نتایج حاصل از تیمارها در همه دوره‌ها مشاهده شد ( $p \leq 0.05$ ).

مقدار این فاکتور با گذشت زمان (۱ تا ۳۰ روز) در تیمار حاوی ۲۰۰ پی‌پی‌ام عصاره آنتوسیانین ساقه ریحان روند متغیر داشت. اما در تیمار کترل و تیمارهای حاوی ۲۰۰ پی‌پی‌ام عصاره و ۶۰۰ پی‌پی‌ام عصاره آنتوسیانین ساقه ریحان، میزان آنتی‌اکسیدان در روز دهم افزایش و پس از آن کاهش یافته است. همچنین بین میزان آنتی‌اکسیدان نمونه‌های تهیه شده در هر روز تفاوت معنی‌داری وجود داشت ( $p \leq 0.05$ ). در تمامی روزها با افزایش مقدار آنتوسیانین ساقه

### ۳-۱۰- بررسی نتایج خصوصیات آنتی‌اکسیدانی نمونه - های ماهی

#### بررسی نتایج میزان آنتی‌اکسیدانی

فعالیت آنتی‌اکسیدانی کامپوزیت‌های فیلم نقش مهمی در بسته‌بندی مواد غذایی ایفا می‌کند استفاده از ترکیبات آنتی‌اکسیدانی طبیعی در خود ماده غذایی و همچنین در بسته‌بندی مواد غذایی موجب افزایش قابلیت نگهداری مواد غذایی می‌شود. در ادامه اثر آنتی‌اکسیدانی با استفاده از روش اندازه-گیری کاهش ظرفیت رادیکالی به کمک رادیکال ۲.۲ - دی‌فنیل - ۱ - پیکریل هیدرازیل DPPH مورد ارزیابی قرار گرفت. DPPH ترکیبی است بنفسن رنگ که به دلیل حضور

بر پایه فیبر سبوس برنج بر حفظ مقدار بیشتری از ترکیبات نانومولسیون‌های آنتوسبیانین ساقه ریحان نسبت به مقدار کمتر از ترکیبات نانومولسیون‌های آنتوسبیانین ساقه ریحان طی دوره نگهداری نمونه مشاهده شد. نتایج نشان داد در شرایط آزمایشگاهی قدرت آنتیاکسیدانی با محظای فنولیک کل رابطه مستقیم دارد [۹۲ و ۹۳].

ریحان، میزان آنتی‌آکسیدان افزایش یافته است. بیشترین مقدار ( $56\pm83/00$  درصد) در تیمار حاوی ۶۰۰ پی‌پی ام عصاره آنتوسبیانین ساقه ریحان در روز دهم و کمترین مقدار ( $10/0\pm32/50$  درصد) در تیمار کنترل در روز سی ام مشاهده شد. تفاوت معنی‌دار در فعلیت آنتی‌اکسیدانی، اثر مثبت پوشش‌دهی ماهی، از فیلم حاوی نشانگر رنگی ساقه ریحان

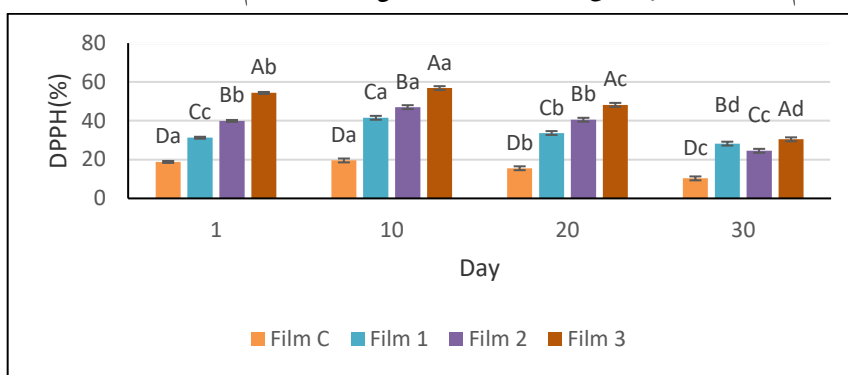


Figure 7. Comparison of antioxidant changes of fish coated with a film containing basil stem color marker based on rice bran fiber. (Film C (control): 0.2 gr of CMC + 0.75% Glycerol + 75 gr double distilled water, Film 1: Rice bran fiber 100ppm+ 200ppm Basil stem anthocyanin extract encapsulated+ 0.2 g CMC + 0.75 % Glycerol+ 10 Stock cmc souton % + 75 g Double distilled water, Film 2: Rice bran fiber 100ppm+ 400ppm Basil stem anthocyanin extract encapsulated+ 0.2 g CMC+ 0.75 % Glycerol+10 Stock cmc souton % + 75 g Double distilled water, Film 3: Rice bran fiber 100ppm+ 600ppm Basil stem anthocyanin extract encapsulated+ 0.2 g CMC+ 0.75 % Glycerol+ 10 Stock cmc souton %+ 75 g Double distilled water)

مقدار ( $10/0\pm24/00$  درصد) در تیمار حاوی ۶۰۰ پی‌پی ام عصاره آنتوسبیانین ساقه ریحان در روز اول مشاهده شد. تیوباریتیوریک اسید به عنوان شاخص میزان اکسیداسیون ثانویه چربی مورد استفاده قرار می‌گیرد. که طی این مرحله، پراکسیدها به موادی مثل آلدئیدها و کتون‌ها اکسید می‌شوند. ترکیبات زیست فعال عصاره‌ی ساقه ریحان (مانند فلاونوئیدها، ترکیبات فنلی و آنتوسبیانین‌ها) به طور مؤثری می‌توانند اکسایش چربی در فیله‌ی ماهی را به تأخیر بیندازند [۹۵ و ۹۶]. مطالعه‌ای از بهرامی فریدونی و خادم شیر مسٹی *L. (۲۰۲۰)* تاثیر عصاره چای ترش نانوکپسوله شده (*Hibiscus sabdariffa*) با کربوکسی‌متیل‌سلولز بر کیفیت و ماندگاری ناگت مرغ سپس مقادیر نیتروژن کل فرار، اسید تیوباریتیوریک در تیمارهای نگهداری شده در یخچال به مدت ۹ روز مورد ارزیابی قرار گرفتند. نتایج نشان داد که عصاره چای ترش خاصیت آنتی‌اکسیدانی دارد و پوشش عصاره باعث افزایش خواص آنتی‌اکسیدانی آن به عنوان قطعه حاوی ۱۰۰ پی‌پی ام عصاره چای ترش نانوکپسوله شده با

۱۱-۳-بررسی تغییرات تیوباریتیوریک اسید  
مالوندی‌آلدئید به وجود آمده در اثر اکسیداسیون می‌تواند با سایر ترکیبات فیله ماهی نظیر نوکلولئیک اسید، فسفولیپیدها، نوکلئوتیدها، پروتئین‌ها، آمینواسیدها و سایر ترکیبات آلدئیدی وارد واکنش گردد. افزایش شاخص تیوباریتیوریک اسید در طول ذخیره‌سازی به اکسیداسیون لبید، تولید متابولیت‌های فرار و هیدروژناتیسیون بافت نسبت داده می‌شود [۶۱ و ۶۲]. در بررسی تیوباریتیوریک اسید در شکل ۸ تفاوت معناداری بین نتایج حاصل از تیمارها در همه دوره‌ها مشاهده شد ( $p\leq0/05$ ). مقدار این فاکتور با گذشت زمان (۱ تا ۳۰ روز) در تمامی تیمارها روند افزایشی داشت. همچنین بین تیوباریتیوریک اسید نمونه‌های تهییه شده در هر روز تفاوت معنی‌داری وجود داشت ( $p\leq0/05$ ). در روز تولید مقدار تیوباریتیوریک اسید در تیمارهای حاوی نشانگر رنگی ساقه ریحان بر پایه فیبر سبوس برنج، به طور معنی‌داری کمتر از تیمار کنترل می‌باشد ( $p\leq0/05$ ). بیشترین مقدار ( $6/0\pm76/50$  درصد) در تیمار کنترل در روز سی ام و کمترین

کربوکسی متیل سلولز می تواند به عنوان یک نگهدارنده طبیعی در گوشت و فرآورده های گوشتی و دریابی استفاده شود [۲۹].

کربوکسی متیل سلولز باعث تاخیر در فساد اکسیداتیو و تغییرات ارگانولپتیک ناگت مرغ شد. بنابراین به نظر می رسد که عصاره آنتوسبیانین ساقه ریحان نانوکپسوله شده با

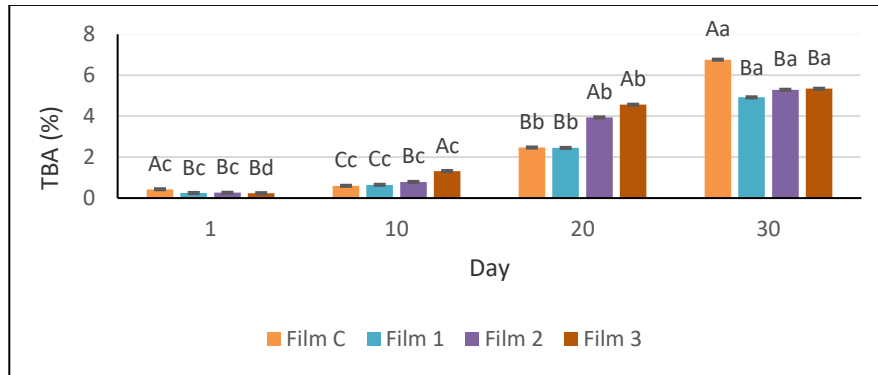


Figure 8. Comparison of changes in thiobarbituric acid of fish coated with a film containing basil stem color marker based on rice bran fiber. (Film C (control): 0.2 gr of CMC + 0.75% Glycerol + 75 gr double distilled water, Film 1: Rice bran fiber 100ppm+ 200ppm Basil stem anthocyanin extract encapsulated+ 0.2 g CMC + 0.75 % Glycerol+ 10 Stock cmc souton % + 75 g Double distilled water, Film 2: Rice bran fiber 100ppm+ 400ppm Basil stem anthocyanin extract encapsulated+ 0.2 g CMC+ 0.75 % Glycerol +10 Stock cmc souton % + 75 g Double distilled water, Film 3: Rice bran fiber 100ppm+ 600ppm Basil stem anthocyanin extract encapsulated+ 0.2 g CMC+ 0.75 % Glycerol+ 10 Stock cmc souton %+ 75 g Double distilled water)

۱ تا ۳۰ روز است. پیک های مربوط به خمسه های خارج صفحه ای پیوندهای H-C در حلقه های بنزنی در طول موج ۷۲۲ بر سانتی متر با ارتعاشات خارج از صفحه ای N-N نشان دهنده نانومولسیون ترکیبات فیبر سبوس برنج از آنتوسبیانین ساقه ریحان است [۵ و ۹۷]. علاوه بر این، گزارش شده است که محدوده طول موج های ۱۶۰۰ تا ۱۷۰۰ بر سانتی متر به منطقه طیفی آمید و همچنین به ساختار ثانویه پروتئین ها اختصاص داده شده است که عمدتاً نتیجه کشش پیوندها در C=O ساختارهای پیتیدی است. پیک های دیگر در طول موج های ۱۰۲۰، ۱۰۳۸ و ۱۰۴۰ بر سانتی متر ممکن است به پیوندهای تک کربن-هیدروژن و کربن-اکسیژن نسبت داده شوند. پیک در محدوده طول موج ۱۰۳۱ بر سانتی متر نیز به پیوند ارتعاشی کششی ساختار C-O-C نسبت داده می شود [۴۰]. طبق نمودارهای گروه های عاملی در ماهی های پوشش داده شده از اندیکاتور از فیلم حاوی نشانگر رنگی ساقه ریحان بر پایه فیبر سبوس برنج نشان می دهد که در روز صفر حذف کربنیل در آنتوسبیانین ساقه ریحان و پهن شدن باند هیدروکسیل OH کمی اسیدی ترشدن محیط است اما در نواحی طول موج کم سیستم حالت اسیدی تر گرفته است. علاوه بر این، خواص آنتی اکسیدانی عصاره آنتوسبیانین ساقه

### ۳-۱۲-FTIR-طیف سنجی

طیف سنجی FTIR ماهی پوشش داده شده حاوی اندیکاتور آنتوسبیانین از فیلم حاوی نشانگر رنگی ساقه ریحان بر پایه فیبر سبوس برنج در محدوده ۴۰۰ تا ۴۰۰۰ بر سانتی متر در شکل ۹ نشان داده شده است. پیک های در محدوده طول موج های ۳۰۰۰ تا ۳۵۰۰ بر سانتی متر نشان دهنده پیوندهای OH در کربوکسیلیک اسید و پیوندهای کششی آزاد OH است. ارتعاشات کششی OH پیوندهای هیدروژنی بین یا درون مولکولی را نشان می دهد پیک های طول موج های CH2 ۲۸۰۰ تا ۳۰۰۰ بر سانتی متر مربوط به -NCH- و -CH2- ارتعاشات خمشی و کششی آلکان ها و آلکن ها هستند. باندهای معمولی اختصاص داده شده به سلولز در ناحیه طول موج های ۹۰۰ تا ۱۶۳۰ بر سانتی متر قابل مشاهده است. باند جذبی در محدوده طول موج ۸۹۷ بر سانتی متر مربوط به پیوندهای اتری واحد های گلوکز در سلولز است. پهنای باند در محدوده طول موج های ۳۰۰۰ تا ۳۵۰۰ بر سانتی متر به کشش ارتعاشی گروه های هیدروکسیل مربوط می شود که نشان دهنده احتباس آب و توانایی پیوند هیدروژنی در پایی - ساکاریدها است و مانع از افزایش فساد ماهی در طول دوره

ریحان و ترکیبات فنلی مانند کارواکرول، تیمول و مشتقات متیل اتر، از شروع واکنش های زنجیره ای رادیکال های آزاد جلوگیری می کند و در نتیجه کاهش می یابد [۹۸ و ۹۹].

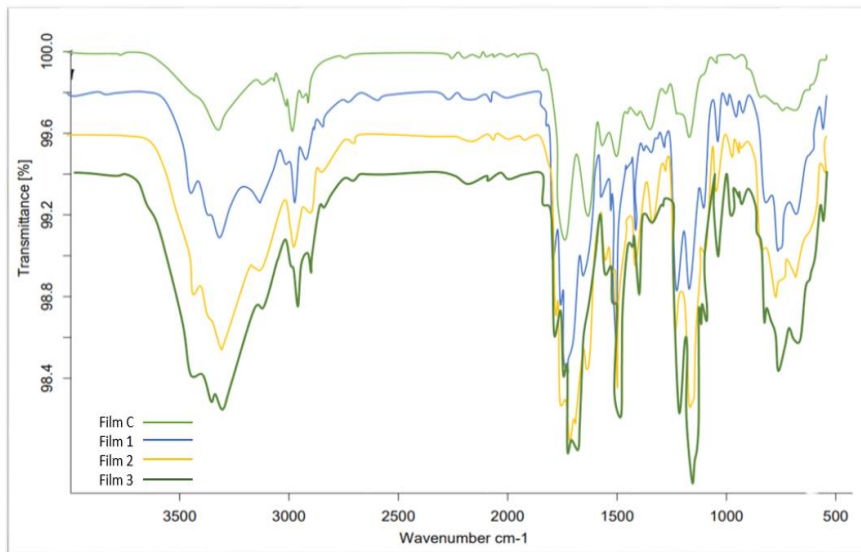


Figure 9. Spectrometry FTIR of coated fish containing anthocyanin indicator from the film containing basil stem color indicator based on rice bran fiber. (Film C (control): 0.2 gr of CMC + 0.75% Glycerol + 75 gr double distilled water, Film 1: Rice bran fiber 100ppm+ 200ppm Basil stem anthocyanin extract encapsulated+ 0.2 g CMC + 0.75 % Glycerol+ 10 Stock cmc souton % + 75 g Double distilled water, Film 2: Rice bran fiber 100ppm+ 400ppm Basil stem anthocyanin extract encapsulated+ 0.2 g CMC+ 0.75 % Glycerol +10 Stock cmc souton % + 75 g Double distilled water, Film 3: Rice bran fiber 100ppm+ 600ppm Basil stem anthocyanin extract encapsulated+ 0.2 g CMC+ 0.75 % Glycerol+ 10 Stock cmc souton %+ 75 g Double distilled water)

افزایش ماندگاری در بازه زمانی زیر ده روز تفاوت

چشمگیری با نمونه شاهد نداشت. فیلم خوراکی بر پایه فیبر سبوس گندم همراه با آنتوسبیانین ساقه ریحان تهیه شده از نظر رنگ ظاهری شفاف و میزان قابل قبولی از استحکام کششی، میزان حلایت و رطوبت بالایی داشت. بنابراین می تواند مواد غذایی را پوشاند و ماندگاری آنها را افزایش دهد. فعالیت آنتی اکسیدانی فیلم با ترکیب آنتوسبیانین ساقه ریحان به صورت معناداری نسبت به کنترل افزایش داشت. فیلم های زیست تخریب پذیر مبتنی بر ترکیب آنتوسبیانین ساقه ریحان می توانند به عنوان یک ماده بسته بندی مطمئن با قابلیت مهار رادیکال آزاد در مواد غذایی مورد بهره برداری قرار گیرند. استفاده از بسته بندی های هوشمند که شامل نشانگرهای رنگی بر پایه عصاره های طبیعی (مانند آنتوسبیانین ها از ساقه ریحان) هستند، می تواند یک راهکار مؤثر برای پایش کیفیت و فساد ماهی شیر باشد. این نشانگرهای به طور دقیق و سریع تغییرات کیفیت را نشان می دهند و

#### ۴-نتیجه گیری

عصاره آنتوسبیانین از ساقه ریحان استخراج شده دارای مقدار مناسبی ترکیبات فنلی، فلاونوئیدی و آنتوسبیانینی است و به همین دلیل دارای خاصیت ضد اکسایشی است. ضمن اینکه این ترکیبات فنلی می توانند خاصیت ضد میکروبی نیز از خود نشان دهند. استفاده از این عصاره موجب بهبود ماندگاری فیله های ماهی شیر شد. همانطور که مشخص است شاخص های مختلف زمان ماندگاری متفاوتی را برای ماهی نشان می دهند. همین امر نشان می دهد تکیه بر یک شاخص کیفی برای تشخیص سلامت و کیفیت ماهی چندان نمی تواند اطمینان بخش باشد. اندازه گیری هم زمان شاخص شیمیایی (به ویژه تیوباریبیوتوریک اسید و بازه های نیتروژنی فرار کل) در کنار برآورد کیفیت میکروبی می تواند دید تقریباً مناسبی از کیفیت و سلامت ماهی ارائه کند. در مجموع، اگرچه تیمار حاوی عصاره نانومولسیون عصاره آنتوسبیانین بیشترین ماندگاری را برای فیله ماهی شیر به ارمغان آورد اما این

کنند استفاده از عصاره‌های طبیعی در نشانگرهای اینمی و سلامت مصرف کنندگان را تضمین می‌کند و به کاهش استفاده از مواد شیمیایی مضره کمک می‌کند. با به کارگیری این نوع بسته‌بندی، می‌توان عمر مفید محصولات دریابی را افزایش داد و ضایعات غذایی را کاهش داد.

می‌توانند به مصرف کنندگان و توزیع کنندگان کمک کنند تا از وضعیت تازه بودن محصول مطلع شوند. نشانگرهای رنگی می‌توانند به سرعت تغییر رنگ دهنده و نشان دهنده فساد یا کاهش کیفیت ماهی باشند. این امر به مصرف کنندگان کمک می‌کند تا از خرید محصولات با کیفیت پایین جلوگیری

## ۵- منابع

- [1] Hoolihan, J.P., Anandh, P., Herwerden, L.V. (2006). Mitochondrial DNA analysis of narrow barred Spanish ackerel (*Scomberomorus commerson*) suggests a single genetic stock in the ROPME sea area (Arabian Gulf, Gulf of Oman and Arabian Sea). *ICES Journal of Marine Science.*, 63, 1066 - 1074.
- [2] Arora, M., Mangipudi, P., & Dutta, M. K. (2022). A low-cost imaging framework for freshness evaluation from multifocal fish tissues. *Journal of Food Engineering.*, 314, 110777.
- [3] Omwange, K. A., Saito, Y., Zichen, H., Khaliduzzaman, A., Kuramoto, M., Ogawa, Y., Kondo, N., & Suzuki, T. (2021). Evaluating Japanese dace (*Tribolodon hakonensis*) fish freshness during storage using multispectral images from visible and UV excited fluorescence. *LWT.*, 151, 112207.
- [4] Tongnuanchan, P., Benjakul, S., & Prodpran, T. (2014). Comparative studies on properties and antioxidative activity of fish skin gelatin films incorporated with essential oils from various sources. *International Aquatic Research.*, 6, 1-12.
- [5] Ghiasi, F., Golmakan, M.-T., Eskandari, M. H., & Hosseini, S. M. H. (2020). A new approach in the hydrophobic modification of polysaccharide-based edible films using structured oil nanoparticles. *Industrial Crops and Products.*, 154, 112679.
- [6] Khoo, H. E., Azlan, A., Tang, S. T., & Lim, S. M. (2017). Anthocyanidins and anthocyanins: Colored pigments as food, pharmaceutical ingredients, and the potential health benefits. *Food & nutrition research.*
- [7] Chandrasekhar, J., Madhusudhan, M., & Raghavarao, K. (2012). Extraction of anthocyanins from red cabbage and purification using adsorption. *Food and bioproducts processing.*, 90(4), 615-623.
- [8] Andrade, J. K. S., Denadai, M., de Oliveira, C. S., Nunes, M. L., & Narain, N. (2017). Evaluation of bioactive compounds potential and antioxidant activity of brown, green and red propolis from Brazilian northeast region. *Food Research International.*, 101, 129-138.
- [9] Ravindran, R., & Jaiswal, A. K. (2016). Exploitation of food industry waste for high-value products. *Trends in biotechnology.*, 34(1), 58-69.
- [10] Despoudi, S., Bucatariu, C., Otles, S., & Kartal, C. (2021). Food waste management, valorization, and sustainability in the food industry. In *Food waste recovery* (pp. 3-19). Elsevier.
- [11] Fernandes, F., Pereira, E., Círić, A., Soković, M., Calhelha, R. C., Barros, L., & Ferreira, I. C. (2019). *Ocimum basilicum* var. *purpurascens* leaves (red rubin basil): A source of bioactive compounds and natural pigments for the food industry. *Food & Function.*, 10(6), 3161-3171.
- [12] Shahrajabian, M. H., Sun, W., & Cheng, Q. (2020). Chemical components and pharmacological benefits of Basil (*Ocimum basilicum*): A review. *International Journal of Food Properties.*, 23(1), 1961-1970.
- [13] Gul, K., Yousuf, B., Singh, A., Singh, P., & Wani, A. A. (2015). Rice bran: Nutritional values and its emerging potential for development of functional food—A review. *Bioactive Carbohydrates and Dietary Fibre.*, 6(1), 24-30.
- [14] Sharif, M. K., Butt, M. S., Anjum, F. M., & Khan, S. H. (2014). Rice bran: a novel functional ingredient. *Critical reviews in food science and nutrition.*, 54(6), 807-816.
- [15] Aswathanarayan, J. B., & Vittal, R. R. (2019). Nanoemulsions and their potential applications in food industry. *Frontiers in Sustainable Food Systems.*, 3, 95.
- [16] Ozogul, Y., Karsli, G. T., Durmuş, M., Yazgan, H., Ozturk, H. M., McClements, D. J., & Ozogul ,F. (2022). Recent developments in industrial applications of nanoemulsions. *Advances in Colloid and Interface Science.*, 304., 102685.
- [17] Musso, Y. S., Salgado, P. R., & Mauri, A. N. (2019). Smart gelatin films prepared using red cabbage (*Brassica oleracea* L.) extracts as solvent. *Food Hydrocolloids.*, 89, 674-681.
- [18] Mohamed, S. A., El-Sakhawy, M., & El-Sakhawy, M. A.-M. (2020). Polysaccharides, protein and lipid-based natural edible films in food packaging: A review. *Carbohydrate polymers.*, 238, 116178.
- [19] López-Torres, J., Hernández-Caba, K., Cervantes-Ganoza, L., Ladera-Castañeda, M., Martínez-Campos, R., Solís-Dante, F., Briceño-Vergel, G., & Cayo-Rojas, C. (2023). Microleakage of Class II Bulk-Fill Resin Composite Restorations Cured with Light-Emitting Diode versus Quartz Tungsten-Halogen Light: An In Vitro Study in Human Teeth. *Biomedicines.*, 11(2), 556.
- [20] Jiang, G., Hou, X., Zeng, X., Zhang, C., Wu, H., Shen, G., Li, S., Luo, Q., Li, M., & Liu, X. (2020).

- Preparation and characterization of indicator films from carboxymethyl-cellulose/starch and purple sweet potato (*Ipomoea batatas* (L.) lam) anthocyanins for monitoring fish freshness. International journal of biological macromolecules., 143, 359-372.
- [21] Wen, Y., Niu, M., Zhang, B., Zhao, S., & Xiong, S. (2017). Structural characteristics and functional properties of rice bran dietary fiber modified by enzymatic and enzyme-micronization treatments. LWT., 75, 344-351.
- [22] Liu, Y., Zhang, H., Yi, C., Quan, K., & Lin, B. (2021). Chemical composition, structure, physicochemical and functional properties of rice bran dietary fiber modified by cellulase treatment. Food Chemistry., 342, 128352.
- [23] Kim, J. E., Kim, S. M., Lee, K. Y., Kim, K. D., Lee, J. H., Jang, E. H., & Ham, J. G. (2022). Genetic Characteristics and Anthocyanin Content of Basil (*Ocimum basilicum* L.). Proceedings of the Korean Society of Crop Science Conference,
- [24] Ahmed, A. F., Attia, F. A., Liu, Z., Li, C., Wei, J., & Kang, W. (2019). Antioxidant activity and total phenolic content of essential oils and extracts of sweet basil (*Ocimum basilicum* L.) plants. Food Science and Human Wellness, 8(3), 299-305.
- [25] Teofilović, B., Grujić-Letić, N., Goločorbin-Kon, S., Stojanović, S., Vastag, G., & Gadžurić, S. (2017). Experimental and chemometric study of antioxidant capacity of basil (*Ocimum basilicum*) extracts. Industrial Crops and Products, 100, 176-182.
- [26] Guan, Q., & Wang, M. (2021). Core-shell structured theranostics. Nano Life, 11(04), 214100. 4.
- [27] Yang, Y., Yu, X., Zhu, Y., Zeng, Y., Fang, C., Liu, Y., Hu, S., Ge, Y., & Jiang, W. (2022). Preparation and application of a colorimetric film based on sodium alginate/sodium carboxymethyl cellulose incorporated with rose anthocyanins. Food Chemistry., 393, 133342.
- [28] Liu, D., Cui, Z., Shang, M., & Zhong, Y. (2021). A colorimetric film based on polyvinyl alcohol/sodium carboxymethyl cellulose incorporated with red cabbage anthocyanin for monitoring pork freshness. Food Packaging and Shelf Life., 28, 100641.
- [29] Bahrami Feridoni, S., & Khademi Shurmasti, D. (2020). Effect of the nanoencapsulated sour tea (*Hibiscus sabdariffa* L.) extract with carboxymethylcellulose on quality and shelf life of chicken nugget. Food Science & Nutrition, 8(7), 3704-3715.
- [30] Tabari, M. (2018). Characterization of a new biodegradable edible film based on Sago Starch loaded with Carboxymethyl Cellulose nanoparticles. Nanomedicine Research Journal., 3(1), 25-30.
- [31] Silva, O. A., Pellá, M. G., Pellá, M. G., Caetano, J., Simões, M. R., Bittencourt, P. R., & Dragunski, D. C. (2019). Synthesis and characterization of a low solubility edible film based on native cassava starch. International journal of biological macromolecules., 128, 290-296.
- [32] Acevedo-Fani, A., Salvia-Trujillo, L., Soliva-Fortuny, R., & Martín-Belloso, O. (2015). Modulating biopolymer electrical charge to optimize the assembly of edible multilayer nanofilms by the layer-by-layer technique. Biomacromolecules, 16(9), 2895-2903.
- [33] Zhao, R., Guan, W., Zhou, X., Lao, M., & Cai, L. (2022). The physiochemical and preservation properties of anthocyanin/chitosan nanocomposite-based edible films containing cinnamon-perilla essential oil pickering nanoemulsions. LWT., 153, 112506.
- [34] Umaraw, P., Munekata, P. E., Verma, A. K., Barba, F. J., Singh, V., Kumar, P., & Lorenzo, J. M. (2020). Edible films/coating with tailored properties for active packaging of meat, fish and derived products. Trends in Food Science & Technology., 98, 10-24.
- [35] Ekrami, M., Roshani-Dehlaghi, N., Ekrami, A., Shakouri, M., & Emam-Djomeh, Z. (2022). pH-Responsive Color Indicator of Saffron (*Crocus sativus* L.) Anthocyanin-Activated Salep Mucilage Edible Film for Real-Time Monitoring of Fish Fillet Freshness. Chemistry, 4(4), 1360-1381.
- [36] Wang, P., Liu, J., Zhuang, Y., & Fei, P. (2022). Acylating blueberry anthocyanins with fatty acids: Improvement of their lipid solubility and antioxidant activities. Food Chemistry: X., 100420, 15.
- [37] Homayounpour, P., Sharifiifar, N., & Alizadeh-Sani, M. (2021). Development of nanochitosan-based active packaging films containing free and nanoliposome caraway (*Carum carvi*. L) seed extract. Food Science & Nutrition, 9(1), 553-563.
- [38] Pabast, M., Sharifiifar, N., Beikzadeh, S., & Jahed, G. (2018). Effects of chitosan coatings incorporating with free or nano-encapsulated Satureja plant essential oil on quality characteristics of lamb meat. Food Control., 91, 185-192.
- [39] Johnson, J. B., El Orche, A., & Naiker, M. (2022). Prediction of anthocyanin content and variety in plum extracts using ATR-FTIR spectroscopy and chemometrics .Vibrational Spectroscopy., 121, 103406.
- [40] Khezerlou, A., Alizadeh Sani, M., Tavassoli, M., Abedi-Firoozjah, R., Ehsani, A., & McClements, D. J. (2023). Halochromic (pH-Responsive) indicators based on natural anthocyanins for monitoring fish freshness/spoilage. Journal of Composites Science., 143, (4), 7.
- [41] Nogueira, G. F., Meneghetti, B. B., Soares, I. H. B. T., Soares, C. T., Bevilacqua, G., Fakhouri, F. M., & de Oliveira, R. A. (2024). Multipurpose arrowroot starch films with anthocyanin-rich grape pomace extract: Color migration for food simulants and monitoring the freshness of fish meat. International journal of biological macromolecules, 265, 130934.
- [42] Koshy, R. R., Reghunadhan, A., Mary, S. K., Thomas, K., Ajish, K., Thomas, S., & Pothen, L. A.

- (2022). Intelligent pH-sensitive films from whole arrowroot powder and soy protein isolate incorporating red cabbage anthocyanin: Monitoring freshness of shrimps and ammonia in fish farming ponds. *New Journal of Chemistry.*, 46(19), 9036-9047

[43] Tena ,N., Martín, J., & Asuero, A. G. (2020). State of the art of anthocyanins: Antioxidant activity, sources, bioavailability, and therapeutic effect in human health. *Antioxidants.*, 9(5), 451.

[44] Garcia, C., & Blesso, C. N. (2021). Antioxidant properties of anthocyanins and their mechanism of action in atherosclerosis. *Free Radical Biology and Medicine.*, 172, 152-166.

[45] Flanigan, P. M., & Niemeyer, E. D. (2014). Effect of cultivar on phenolic levels, anthocyanin composition, and antioxidant properties in purple basil (*Ocimum basilicum* L.). *Food Chemistry.*, 164, 518-526.

[46] Chua, L. S., Abd Wahab, N. S., & Soo, J. (2023). Water soluble phenolics, flavonoids and anthocyanins extracted from jaboticaba berries using maceration with ultrasonic pretreatment. *Food Chemistry Advances.*, 3, 100387.

[47] Boulekbache-Makhlof, L., Medouni, L., Medouni-Adrar, S., Arkoub, L., & Madani, K. (2013). Effect of solvents extraction on phenolic content and antioxidant activity of the byproduct of eggplant. *Industrial Crops and Products.*, 49., 668-674.

[48] Peanparkdee, M., Patrawart, J., & Iwamoto, S. (2019). Effect of extraction conditions on phenolic content, anthocyanin content and antioxidant activity of bran extracts from Thai rice cultivars. *Journal of cereal science.*, 86, 86-91.

[49] Wang, W., Jung, J., Tomasino, E., & Zhao, Y. (2016). Optimization of solvent and ultrasound-assisted extraction for different anthocyanin rich fruit and their effects on anthocyanin compositions. *LWT-Food Science and Technology.*, 72, 229-238.

[50] Samad, M. A., Hashim, S. H., Simarani, K., & Yaacob, J. S. (2016). Antibacterial properties and effects of fruit chilling and extract storage on antioxidant activity, total phenolic and anthocyanin content of four date palm (*Phoenix dactylifera*) cultivars. *Molecules.*, 21(4), 419.

[51] Bendokas, V., Stanyš, V., Mažeikienė, I., Trumbeckaitė, S., Baniene, R., & Liobikas, J. (2019). Anthocyanins: From the Field to the Antioxidants in the Body. *Antioxidants.*, 9(9), 819.

[52] Turturică, M., Oancea, A. M., Râpeanu, G., & Bahrim, G. (2015). Anthocyanins: Naturally occurring fruit pigments with functional properties. *The Annals of the University Dunarea De Jos of Galati. Fascicle VI-Food Technology.*, 39(1), 9-24.

[53] Gahruei, H. H., Mirzapour, A., Ghiasi, F., Eskandari, M. H., Moosavi-Nasab, M., & Hosseini, S. M. H. (2022). Development and characterization of gelatin and Persian gum composite edible films through complex coacervation. *LWT.*, 153, 112422.

[54] Farooq, S., Shah, M. A., Siddiqui, M. W., Dar, B., Mir, S. A., & Ali, A. (2020). Recent trends in extraction techniques of anthocyanins from plant materials. *Journal of Food Measurement and Characterization.*, 14, 3508-3519.

[55] Bhushan, B., Bibwe, B., Pal, A., Mahawar, M. K., Dagla, M. C., Yathish, K., Jat, B. S., Kumar, P., Aggarwal, S. K., & Singh, A. (2023). FTIR spectra, antioxidant capacity and degradation kinetics of maize anthocyanin extract under variable process conditions. *Applied Food Research.*, 3(1), 100282.

[56] Türker, D. A., & Doğan, M. (2021). Application of deep eutectic solvents as a green and biodegradable media for extraction of anthocyanin from black carrots. *LWT*, 138, 110775.

[58] Shi, S., Xu, X., Feng, J., Ren, Y., Bai, X., & Xia, X. (2023). Preparation of NH<sub>3</sub>-and H<sub>2</sub>S-sensitive intelligent pH indicator film from sodium alginate/black soybean seed coat anthocyanins and its use in monitoring meat freshness. *Food Packaging and Shelf Life.*, 35, 100994.

[59] Zhang, H., Li, S., Zheng, H., Han, Z., Lin, B., Wang, Y., Guo, X., Zhou, T., Zhang, H., & Wu, J. (2023). A visual color response test paper for the detection of hydrogen sulfide gas in the air. *Molecules.*, 28(13), 5044.

[60] Ameri, M., Ajji, A., & Kessler, S. (2024). Characterization of a Food-Safe Colorimetric Indicator Based on Black Rice Anthocyanin/PET Films for Visual Analysis of Fish Spoilage. *Packaging Technology and Science.*

[61] Ranjbar, M., Tabrizzad, M. H. A., Asadi, G., & Ahari, H. (2023). Investigating the microbial properties of sodium alginate/chitosan edible film containing red beetroot anthocyanin extract for smart packaging in chicken fillet as a pH indicator. *Heliyon.*, 9(8).

[62] Bitencourt, C. M., Fávaro-Trindade, C. S., Sobral, P. J. d. A., & Carvalho, R. A. d. (2014). Gelatin-based films additivated with curcuma ethanol extract: Antioxidant activity and physical properties of films. *Food Hydrocolloids.*, 40, 145-152.

[63] Rawdkuen ,S., Faseha, A., Benjakul, S., & Kaewprachu, P. (2020). Application of anthocyanin as a color indicator in gelatin films. *Food Bioscience.*, 36, 100603.

[64] Erna, K. H., Felicia, W. X. L., Vonnie, J. M., Rovina, K., Yin, K. W., & Nur'Aqilah, M. N. (2022). Synthesis and physicochemical characterization of polymer film-based anthocyanin and starch. *Biosensors.*, 12(4), 211.

[65] Wang, S., Marcone, M., Barbut, S., & Lim, L. T. (2012). The impact of anthocyanin-rich red raspberry extract (ARRE) on the properties of edible soy protein isolate (SPI) films. *Journal of Food Science.*, 77(4), C497-C505.

[66] Yong, H., & Liu, J. (2020). Recent advances in the preparation, physical and functional properties, and applications of anthocyanins-based active and

- intelligent packaging films. *Food Packaging and Shelf Life.*, 26, 100550.
- [67] Shivangi, S., Dorairaj, D., Negi, P. S., & Shetty, N. P. (2021). Development and characterisation of a pectin-based edible film that contains mulberry leaf extract and its bio-active components. *Food Hydrocolloids.*, 1.107046,21.
- [68] Stoll, L., Costa, T. M. H., Jablonski, A., Flôres, S. H., & de Oliveira Rios, A. (2016). Microencapsulation of anthocyanins with different wall materials and its application in active biodegradable films. *Food and Bioprocess Technology.*, 9, 172-181.
- [69] Roy, S., Kim, H.-J., & Rhim, J.-W. (2021). Effect of blended colorants of anthocyanin and shikonin on carboxymethyl cellulose/agar-based smart packaging film. *International journal of biological macromolecules.*, 183, 305-315.
- [70] Cheng, M., Yan, X., Cui, Y., Han, M., Wang, Y., Wang, J., Zhang, R., & Wang, X. (2022). Characterization and release kinetics study of active packaging films based on modified starch and red cabbage anthocyanin extract. *Polymers.*, 14(6), 1214.
- [71] Zhang, X., Liu, Y., Yong, H., Qin, Y., Liu, J., & Liu, J. (2019). Development of multifunctional food packaging films based on chitosan, TiO<sub>2</sub> nanoparticles and anthocyanin-rich black plum peel extract. *Food Hydrocolloids.*, 94, 80-92.
- [72] de Oliveira Filho, J. G., Braga, A. R. C., de Oliveira, B. R., Gomes, F. P., Moreira, V. L., Pereira, V. A. C., & Egea, M. B. (2021). The potential of anthocyanins in smart, active, and bioactive eco-friendly polymer-based films: A review. *Food Research International.*, 142, 110202.
- [73] Yan, J., Zhang, H., Yuan, M., Qin, Y., & Chen, H. (2022). Effects of anthocyanin-rich Kadsura coccinea extract on the physical, antioxidant, and pH-sensitive properties of biodegradable film. *Food Biophysics.*, 17(3), 375-385.
- [74] Sohany, M., Tawakkal, I. S. M. A., Ariffin, S. H., Shah, N. N. A. K., & Yusof, Y. A. (2021). Characterization of anthocyanin associated purple sweet potato starch and peel-based pH indicator films. *Foods.*, 10(9), 2005.
- [75] Merz, B., Capello, C., Leandro, G. C., Moritz, D. E., Monteiro, A. R., & Valencia, G. A. (2020). A novel colorimetric indicator film based on chitosan, polyvinyl alcohol and anthocyanins from jambolan (*Syzygium cumini*) fruit for monitoring shrimp freshness. *International journal of biological macromolecules.*, 153, 625-632.
- [76] Capello, C., Trevisol, T. C., Pelicioli, J., Terrazas, M. B., Monteiro, A. R., & Valencia, G. A. (2021). Preparation and characterization of colorimetric indicator films based on chitosan/polyvinyl alcohol and anthocyanins from agri-food wastes. *Journal of Polymers and the Environment.*, 29, 1616-1629.
- [77] Etxabide, A., Maté, J. I., & Kilmartin, P. A. (2021). Effect of curcumin, betanin and anthocyanin containing colourants addition on gelatin films properties for intelligent films development. *Food Hydrocolloids.*, 115, 106593.
- [78] Bojorges, H., Ríos-Corripio, M., Hernández-Cázares, A. S., Hidalgo-Contreras, J. V., & Contreras-Oliva, A. (2020). Effect of the application of an edible film with turmeric (*Curcuma longa L.*) on the oxidative stability of meat. *Food Science & Nutrition.*, 8(8), 4308-4319.
- [79] Marrone, R., Smaldone, G., Ambrosio, R. L., Festa, R., Ceruso, M., Chianese, A., & Anastasio, A. (2021). Effect of beetroot (*Beta vulgaris*) extract on Black Angus burgers shelf life. *Italian Journal of Food Safety.*, 10(1).
- [80] You, P., Wang, L., Zhou, N., Yang, Y., & Pang, J. (2022). A pH-intelligent response fish packaging film: Konjac glucomannan/carboxymethyl cellulose/blackcurrant anthocyanin antibacterial composite film. *International journal of biological macromolecules.*, 204, 386-396.
- [81] Ganiari, S., Choulitoudi, E., & Oreopoulou, V. (2017). Edible and active films and coatings as carriers of natural antioxidants for lipid food. *Trends in Food Science & Technology.*, 68, 70-82.
- [82] Vlčko, T., Rathod, N. B., Kulawik, P., Ozogul, Y., & Ozogul, F. (2022). The impact of aromatic plant-derived bioactive compounds on seafood quality and safety. In *Advances in food and nutrition research* (Vol. 102, pp. 275-339). Elsevier.
- [83] Huang, S., Xiong, Y., Zou, Y., Dong, Q., Ding, F., Liu, X., & Li, H. (2019). A novel colorimetric indicator based on agar incorporated with Arnebia euchroma root extracts for monitoring fish freshness. *Food Hydrocolloids.*, 90, 198-205.
- [84] You, S., Zhang, X., Wang, Y., Jin, Y., Wei, M., & Wang, X. (2022). Development of highly stable color indicator films based on κ-carrageenan, silver nanoparticle and red grape skin anthocyanin for marine fish freshness assessment. *International journal of biological macromolecules.*, 216, 655-669.
- [85] Ghorbani, M., Divsalar, E., Molaei, R., Ezati, P., Moradi, M., Tajik, H., & Abbaszadeh, M. (2021). A halochromic indicator based on polylactic acid and anthocyanins for visual freshness monitoring of minced meat, chicken fillet, shrimp, and fish roe. *Innovative Food Science & Emerging Technologies.*, 74, 102864.
- [86] Zhai, X., Zou, X., Shi, J., Huang, X., Sun, Z., Li, Z., Sun, Y., Li, Y., Wang, X., & Holmes, M. (2020). Amine-responsive bilayer films with improved illumination stability and electrochemical writing property for visual monitoring of meat spoilage. *Sensors and Actuators B: Chemical.*, 302, 127130.
- [87] Sun, Y., Wen, J., Chen, Z., Qiu, S., Wang, Y., Yin, E., Li, H., & Liu, X. (2022). Non-destructive and rapid method for monitoring fish freshness of grass

- carp based on printable colorimetric paper sensor in modified atmosphere packaging. *Food Analytical Methods.*, 1-11.
- [88] Bekhit, A. E. D. A., Giteru, S. G., Holman, B. W., & Hopkins, D. L. (2021). Total volatile basic nitrogen and trimethylamine in muscle foods: Potential formation pathways and effects on human health. *Comprehensive Reviews in Food Science and Food Safety.*, 20(4), 3620-3666.
- [89] Hui, X., Wan, Y., Dong, H., Peng, J., Wu, W., Yang, X., & He, Q. (2023). A promising insight into the inhibition of lipid oxidation, protein degradation and biogenic amine accumulation in postmortem fish: Functional glazing layers of modified bio-polymer. *LWT.*, 177, 114575.
- [90] Tahir, H. E., Hashim, S. B., Mahunu, G. K., Arslan, M., Jiyong, S., Mariod, A. A., Zhang, J., El-Seedi, H. R., Zhai, X., & Musa, T. H. (2022). Smart films fabricated from natural pigments for measurement of total volatile basic nitrogen (TVB-N) content of meat for freshness evaluation: A systematic review. *Food Chemistry.*, 396, 133674.
- [91] Arun, R., Shruthy, R., Preetha, R., & Sreejit, V. (2022). Biodegradable nano composite reinforced with cellulose nano fiber from coconut industry waste for replacing synthetic plastic food packaging. *Chemosphere.*, 291, 132786.
- [92] Chaiyasut, C., Sivamaruthi, B. S., Pengkumsri, N., Sirilun, S., Peerajan, S., Chaiyasut, K., & Kesika, P. (2016). Anthocyanin profile and its antioxidant activity of widely used fruits, vegetables, and flowers in Thailand. *Asian Journal of Pharmaceutical and Clinical Research.*, 9(6), 218-224.
- [93] Mary, S. K., Koshy, R. R., Daniel, J., Koshy, J. T., Pothen, L. A., & Thomas, S. (2020). Development of starch based intelligent films by incorporating anthocyanins of butterfly pea flower and TiO<sub>2</sub> and their applicability as freshness sensors for prawns during storage. *RSC advances.*, 10(65), 39822-39830.
- [94] Kanatt, S. R. (2020). Development of active/intelligent food packaging film containing Amaranthus leaf extract for shelf life extension of chicken/fish during chilled storage. *Food Packaging and Shelf Life.*, 24, 100506.
- [95] Hosseini, S. F., Ghaderi, J., & Gómez-Guillén, M .C. (2022). Tailoring physico-mechanical and antimicrobial/antioxidant properties of biopolymeric films by cinnamaldehyde-loaded chitosan nanoparticles and their application in packaging of fresh rainbow trout fillets. *Food Hydrocolloids.*, 124, 107249.
- [96] Yin, S., Zhang, Y., Zhang, X., Tao, K., & Li, G. (2023). High-strength collagen/delphinidin film incorporated with Vaccinium oxycoccus pigment for active and intelligent food packaging. *Collagen and Leather.*, 5(1), 11.
- [97] Łupina, K., Kowalczyk, D., Zięba, E., Kazimierczak, W., Mężyńska, M., Basiura-Cembala, M., & Wiącek, A. E. (2019). Edible films made from blends of gelatin and polysaccharide-based emulsifiers-A comparative study. *Food Hydrocolloids.*, 96, 555-567.
- [98] Tavakoli, S., Mubango, E., Tian, L., NDri, Y. B., Tan, Y., Hong, H., & Luo, Y. (2023). Novel intelligent films containing anthocyanin and phycocyanin for nondestructively tracing fish spoilage. *Food Chemistry.*, 402, 134203.
- [99] Zeng, F., Ye, Y., Liu, J., & Fei, P. (2023). Intelligent pH indicator composite film based on pectin/chitosan incorporated with black rice anthocyanins for meat freshness monitoring. *Food Chemistry.*, X, 17, 100531.



## Scientific Research

**Investigating The Performance Of The Film Containing Basil Stem Color Indicator Based On Rice Bran Fiber To Monitor The Spoilage Of Lion Fish (*Siganus commersonii*)**

Sedigheh Yazdanpanah<sup>1\*</sup>, Akbar Rostamifard<sup>2</sup>

1- Associate Professor, Department of Food Science and Industry, Kazerun Branch, Islamic Azad University, Kazerun, Iran

2- Master's degree student in the Department of Food Sciences and Industries , Kazerun Branch, Islamic Azad University, Kazerun, Iran

**ARTICLE INFO****ABSTRACT****Article History:**

Received:2024/8/3

Accepted:2024/12/22

**Keywords:**

Color marker,  
Edible film,  
Spoilage monitoring

**DOI:** [10.22034/FSCT.22.159.169](https://doi.org/10.22034/FSCT.22.159.169).

\*Corresponding Author E-  
yazdanpanah2004@gmail.com

The production this trend, the aim of this research is to design a sensor containing a basil stem color indicator based on rice bran fiber to determine the quality of lionfish (*Siganus commersonii*) kept for 1-30 days at refrigerator temperature. In this study, a factorial design was used to evaluate the effects of control treatments, 200 ppm, 400 ppm and 600 ppm. The results of scanning electron microscopy showed that basil stem anthocyanin extract causes changes in polymer chains and reduces film matrix porosity. Anthosanin with many hydroxy groups as a plasticizer increased the free volume and interpolymeric macromolecular mobility due to the reduction of intermolecular forces and lower density, and as a result improved the stretchability and flexibility of the layers. In addition, the chemical properties (pH, thiobarbituric acid and nitrogen compounds) for all samples increased with increasing storage time up to 30 days. In FTIR spectroscopy, it was observed that on day zero, life of lionfish fillets. Basil stem anthocyanin extract and rice bran fiber can be used as a suitable indicator the removal of carbonyl in anthocyanin extract of basil stem increased the hydroxyl band and acidified the environment. Antioxidant properties of basil stem anthocyanin extract in the presence of phenolic compounds have prevented the initiation of free radical chain reactions and reduced it. The film containing the color indicator of anthocyanin extract of basil stem based on rice bran fiber has the potential to increase the quality and shelf to investigate changes in spoilage in packaged food products.